

JOURNAL de PHYSIQUE

Index Général des
Publications 1975



PUBLICATION DE LA SOCIÉTÉ FRANÇAISE DE PHYSIQUE SUBVENTIONNÉE PAR LE C.N.R.S.



EUROPHYSICS JOURNAL



JOURNAL DE PHYSIQUE

Tome 36 — 1975

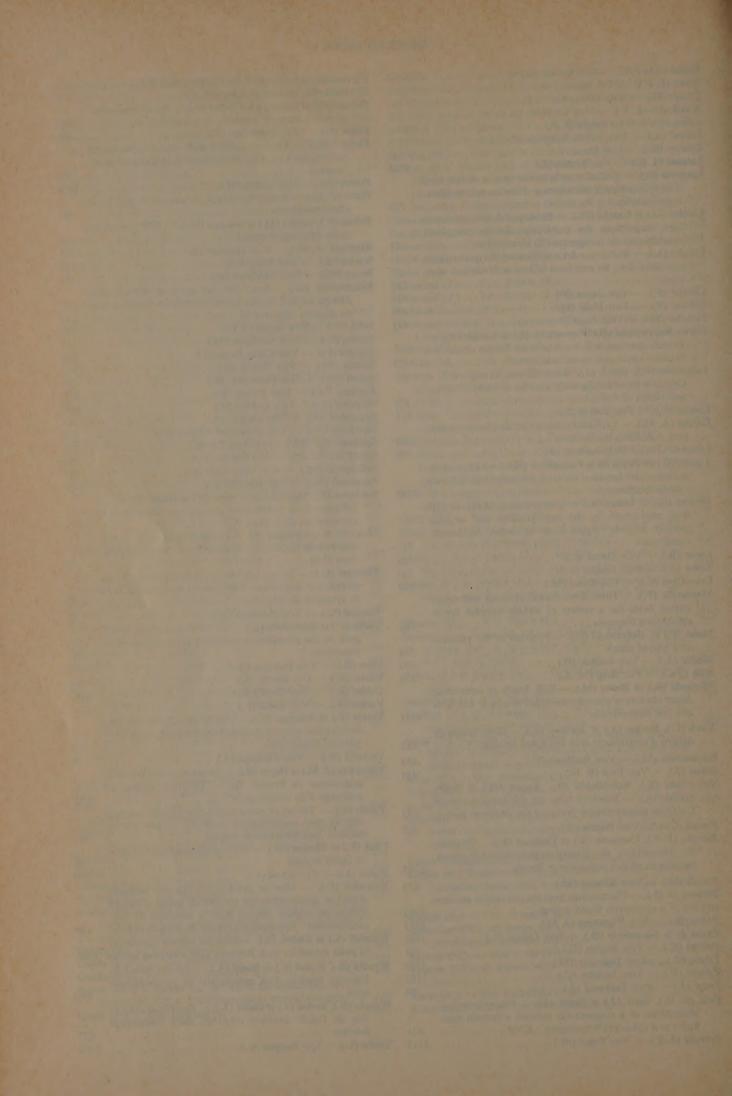
PHYSIQUE MATHEMATIQUE		Bouten (MC.) et Bouten (M.). — Calcul Hartree-Fock pro-	
THE DATE SHOW SELECTION AND ADMINISTRATION OF THE PARTY O		jeté et couplage intermédiaire pour le ¹² C	765
Des Cloizeaux (J.). — The Lagrangian theory of polymer		Brissot (R.). — Voir Monnand (E.).	1
solutions at intermediate concentrations	281	Brochard (F.), Chevallier (P.), Disdier (D.), Rauch (V.) et	
Derrida (B.). — Voir Gaudin (M.)	1183	Scheibling (F.). — Etude des désexcitations électroma-	
Gaudin (M.) et Derrida (B.). — Solution exacte d'un problème		gnétiques du deuxième niveau $J^{\pi} = 4^+$ du noyau ¹⁶ O	
à trois corps. Etat lié	1183	situé à 11,096 MeV	113
Michelot (F.), Moret-Bailly (J.). — Expressions algébriques		Chevallier (P.). — Voir Brochard (F.)	113
approchées de symboles de couplage et de fonctions de		Cieslak (E.). — Voir Stephan (C.)	105
base adaptés à la symétrie cubique	451	Crançon (J.). — Voir Monnand (E.)	1
Moret-Bailly (J.). — Voir Michelot (F.)	451	Disdier (D.). — Voir Brochard (F.)	113
Thorpe (M. F.). — Static properties of a random one-dimen-		Fellah (M.) et Hammann (T. F.). — Influence de la projection	
sional magnet	1177	des fonctions BCS sur les transitions M1 et E2 dans	
Sional magnet	11//	les terres rares	461
		Ferrero (J. L.). — Voir Bilwes (B.).	1055
AND THE RESIDENCE OF THE PARTY		Fou (C. M.). — Voir Gagne (R. M.).	759
MÉCANIQUE, HYDRODYNAMIQUE			613
		Foucher (R.). — Voir Berg (V.).	013
Brochard (F.) et Lennon (J. F.). — Frequency spectrum of		Gagne (R. M.), Fou (C. M.), Ward (S.). — Study of the first	750
the Flicker phenomenon in erythrocytes	1035	excited state in ⁵ Li	759
Coste (J.) et Peyraud (J.). — New hydrodynamic modes in		Garcia (A.). — Voir Bilwes (B.)	1055
non equilibrium fluids	751	Hammann (T. F.). — Voir Fellah (M.)	461
Dandache (H.) et Papoular (M.). — Effets hydrodynamiques	, 51	Hubert (Ph.). — Voir Aléonard (M. M.)	913
associés à la barodiffusion	219	Jain (A. P.). — Evidence of narrow surface absorption from	
	219	the optical model studies of S and P-wave strength	
Doi (M.). — Rotational relaxation time of rigid rod-like	607	functions	335
macromolecule in concentrated solution	607	Jastrzebski (J.). — Voir Karwowski (H.)	471
De Gennes (P. G.). — Sur une éventuelle application de		Karwowski (H.), Majewski (S.), Pietrzyk (B.), Wencel (L.)	
l'effet Mössbauer ou des neutrons à l'étude des interfaces		et Jastrzebski (J.). — Nanosecond Isomers in ¹⁸⁶ W	471
fluides et des smectiques	603	Majewski (S.). — Voir Karwowski (H.)	471
Lennon (J. F.). — Voir Brochard (F.)	1035	Martinez (V.). — Voir Bilwes (B.).	1055
Papoular (M.). — Voir Dandache (H.)	.219		913
Perez Cordon (R.), Velarde (M. G.). — On the (non linear)		Mennrath (P.). — Voir Aleonard (M. M.)	
foundations of Boussinesq approximation applicable		Meunier (M.). — Voir Stephan (C.).	105
to a thin layer of fluid	591	Monnand (E.), Brissot (R.), Crançon (J.), Ristori (Ch.),	
Peyraud (J.). — Voir Coste (J.)	751	Schussler (F.) et Moussa (A.). — Niveaux de ¹³⁷ Cs	
Velarde (M. G.). — Voir Perez Cordon (R.)	591	alimentés dans la désintégration de ¹³⁷ Xe	, -1
		Moussa (A.). — Voir Monnand (E.)	1
		Parthasarathy (R.). — Supermultiplet breaking in nuclear	
MÉCANIOLE CTATICTIOLE		muon capture	1063
MÉCANIQUE STATISTIQUE		Pietrzyk (B.). — Voir Karwowski (H.)	471
		Rauch (V.). — Voir Brochard (F.)	113
De Gennes (P. G.). — Critical dimensionality for a special		Ristori (Ch.). — Voir Monnand (E.).	1
percolation problem	1049	Sarger (L.). — Voir Aleonard (M. M.)	913
De Gennes (P. G.). — Reptation of stars	1199	Scheibling (F.). — Voir Brochard (F.)	113
		Schussler (F.). — Voir Monnand (E.)	1
		Sowinski (M.). — Voir Stephan (C.)	105
PHYSIQUE NUCLÉAIRE		Stephan (C.), Tys (J.), Sowinski (M.), Cieslak (E.) et Meu-	
THISIQUE NUCLEAIRE		nier (M.). — Search for superheavy elements in nature	105
		Tys (J.). — Voir Stephan (C.)	105
Aléonard (M. M.), Hubert (Ph.), Sarger (L.) et Mennrath (P.).	11.00	Ward (S.). — Voir Gagne (R. M.)	759
— Propriétés des états $E_x = 3447$ et 4642 keV du ²⁹ P	913	Wencel (L.). — Voir Karwowski (H.)	471
Berg (V.), Bourgeois (C.) et Foucher (R.). — Some features of	Marie Land		
odd Au nuclei revealed by half-life measurements	613	The state of the s	
Bilwes (B.), Bilwes (R.), Ferrero (J. L.), Garcia (A.) et Mar-		PHYSIQUE ATOMIQUE ET MOLÉCULAI	RE
tinez (V.). — Formation du doublet 1 ⁺ dans la réaction		ASSESSMENT OF THE PARTY OF THE	
⁹ Be(³ He, α) ⁸ Be	1055	Amiot (C.). — Voir Pierre (G.)	487
Bilwes (R.). — Voir Bilwes (B.)	1055	Aymar (M.). — Etude comparative des méthodes de champ	
Bourgeois (C.). — Voir Berg (V.)	613	central et de défaut quantique dans l'analyse des niveaux	
Routen (M.) — Voir Routen (M. C.)	765	neu excités de Ne I	299

Baltayan (P.) et Nedelec (O.). — Relative intensities and		Desesquelles (J.), Do Cao (G.) et Vaissade (A.). — Etude de	
polarizations in H ₂ rotational lines excited by electron impact	125	l'excitation rotationnelle de l'état $B^2 \Sigma$ de N_2^+ par impact d'ions lourds	79.
Barbarin (F.) et Germain (J. P.). — Etude par résonance	123	Do Cao (G.). — Voir Desesquelles (J.).	79:
paramagnétique électronique des effets de la solvatation		Duchene (J. L.). — Voir Major (F. G.)	95
sur le temps de corrélation rotationnel du radical anion		Ducloy (M.). — Application du formalisme des états cohé-	
P-benzosemiquinone en milieu liquide	475	rents de moment angulaire à quelques problèmes de	
Barrat (JP.) et Vienne-Casalta (D.). — Echange de métasta-		physique atomique	92
bilité entre atomes de mercure dans les états 6 ¹ S ₀ et		Dumon (B.). — Voir Berrue (J.). Fauro (F.) Valadiar (F.) et Janin (J.) Mácanisma d'avai	1079
6 ³ P ₀ : tentative de calcul théorique de la section efficace	919	Faure (E.), Valadier (F.) et Janin (J.). — Mécanisme d'excitation des molécules polyatomiques par l'azote actif	
de collision Barrat (JP.). — Voir Vienne-Casalta (D.).	367	dans des matrices argon-azote	11
Barrat-Rambosson (M.). — Voir Grandin (J. P.).	787	Feneuille (S.) et Schweighofer (MG.). — Conditions for the	
Ben-Lakhdar-Akrout (Z.), Butaux (J.) et Lennuier (R.).		observation of the Autler-Townes effect in a two step	
Experimental study of the mercury 4 047 Å line		resonance experiment	78
(6 ³ P ₀ -7 ³ S ₁) absorption profile in the presence of		Germain (J. P.). — Voir Barbarin (F.).	47:
foreign gases	625	Gerstenkorn (S.) et Verges (J.). — Interprétation des déplacements isotopiques pairs-impairs anormaux dans le	
Berger (H.). — Voir Champion (J. P.).	135	spectre d'arc du mercure	48
Berrue (J.), Chave (A.), Dumon (B.) et Thibeau (M.). — Lumière diffusée par une assemblée de sphères conduc-		Glorieux (P.), Legrand (J.) et Macke (B.). — Double nuta-	
trices à basse densité	1079	tion et échos moléculaires dans le domaine millimétrique	643
Betrencourt-Stirnemann (C.). — Identification et analyse de	1017	Grandin (J. P.), Hennecart (D.), Husson (X.), Lecler (D.),	
la composante parallèle de $(v_2 + 2 v_5)$ de CH_3Br	1205	Vienne (J. F.), Barrat-Rambosson (M.). — Transfert de	
Bigeon (MC.), Chantepie (M.), Cojan (JL.) et Landais (J.).		population entre niveaux 2p du néon, par collisions	70'
—Structure hyperfine du niveau 5 ¹ D ₂ des isotopes		contre atomes de néon à l'état fondamental	78
¹¹¹ Cd et ¹¹³ Cd	1071	Graner (G.) et Blass (W. E.). — The vibration-rotation	760
Blass (W. E.). — Voir Graner (G.)	769	bands v_2 and v_5 of methyl bromide	769
Bobin (B.) et Hilico (J. C.). — Attribution des transitions		Hennecart (D.). — Voir Grandin (J. P.).	78
du type $(R' = J' \pm 2 \leftarrow J_0)$ de la bande $(v_3 + v_4)$ du	225	Hilico (J. C.). — Voir Bobin (B.)	22:
méthane ¹² CH ₄	225	Husson (X.). — Voir Grandin (J. P.)	78
Bouchiat (M. A.) et Bouchiat (C.). — Parity violation induced by weak neutral currents in atomic physics. II	493	Janin (J.). — Voir Faure (E.)	11
Bouchiat (C.). — Voir Bouchiat (M. A.)	493	Joyes (P.). — Voir Leleyter (M.)	343
Bouchiat (MA.), Brossel (J.), Mora (P.) et Pottier (L.).		Lahaye (B.) et Margerie (J.). — The g-factor of the meta-	0.4
Properties of rubidium-argon Van Der Waals mole-		stable 6 ³ P ₀ level of odd isotopes of mercury	943
cules from the relaxation of polarized Rb atoms	1075	Landais (J.). — Voir Bigeon (MC.) Landais (J.). — Voir Chantepie (M.)	107
Brochard (J.). — Voir Damaschini (R.)	923	Lange (W.). — Voir Lecler (D.)	64
Brossel (J.) Voir Bouchiat (MA.)	1075	Larour (J.). — Voir Cazabat (A. M.)	1209
Broyer (M.), Lehmann (JC.) et Vigue (J.). — g factors and		Lecler (D.). — Voir Grandin (J. P.)	78
lifetimes in the B state of molecular iodine	235	Lecler (D.), Ostermann (R.), Lange (W.) et Luther (J.). —	
Butaux (J.). — Voir Ben-Lakhdar-Akrout (Z.).	625	Dependence of Hanle signals on the spectral distribu-	
Cazabat (A. M.) et Larour (J.). — Diffusion Rayleigh- Brillouin dans les gaz comprimés	1209	tion of the exciting light	64
Champion (J. P.) et Berger (H.). — A. Spectre Raman à	1207	Lecuyer (A.). — Etude de la relaxation rotationnelle des molécules CO ₂ et N ₂ O par une méthode de double	
haute résolution de la bande v_2 de ¹² CH ₄	135	résonance	617
Champion (J. P.). — B. Analyse de la bande fondamentale v_2		Legay (F.). — Voir Charneau (R.)	7
de ¹² CH ₄	141	Legay-Sommaire (N.). — Voir Charneau (R.)	1 3
Chantepie (M.). — Effet Stark des niveaux de la configura-	202	Legrand (J.). — Voir Glorieux (P.)	643
tion 6s 6d du mercure.	293	Lehmann (JC.). — Voir Broyer (M.)	235
Chantepie (M.), Cojan (J. L.), Landais (J.). — Excitation optique par échelons du niveau (5s 5d) ¹ D ₂ du cadmium		Leleyter (M.) et Joyes (P.). — Etude expérimentale et théo-	
et mesure de sa durée de vie par effet Hanle	1067	rique de l'émission secondaire d'ions moléculaires. Cas des éléments du groupe IV-B	343
Chantepie (M.). — Voir Bigeon (MC.)	1071	Lennuier (R.). — Voir Ben-Lakhdar-Akrout (Z.).	625
Charneau (R.), Legay (F.), Legay-Sommaire (N.) et Taieb (G.).		Lennuier (R.). — Voir Perrin-Lagarde (D.)	357
- Relaxations vibrationnelle et rotationnelle dans un	-	Lombardi (M.). — Voir Zgainski (A.)	1221
laser à CO-N ₂	7	Luther (J.). — Voir Lecler (D.)	647
Chave (A.). — Voir Berrue (J.).	1079	Macke (B.). — Voir Glorieux (P.)	643
Cheron (B.). — Etude du transfert d'excitation et de cohérence dans la fluorescence sensibilisée mercure-		Major (F. G.) et Duchene (J. L.). — La structure des raies	
cadmium: I. Etude théorique	17	de résonance hyperfine d'ions oscillant harmoniquement dans un champ électrique	953
Cheron (B.). — Etude du transfert d'excitation et de cohé-		Margerie (J.). — Voir Lahaye (B.).	943
rence dans la fluorescence sensibilisée mercure-		Mora (P.). — Voir Bouchiat (MA.).	1075
cadmium : II. Résultats expérimentaux	29	Nedelec (O.). — Voir Baltayan (P.)	125
Churassy (S.). — Voir Zgainski (A.)	1221	Ostermann (R.). — Voir Lecler (D.)	647
Cojan (JL.). — Voir Bigeon (MC.)	1071	Payen (R.). — Voir Vigoureux (J. M.)	631
Colombe (M. C.) et Sinzelle (J.). — Etude paramétrique de	1067	Perrin-Lagarde (D.) et Lennuier (R.). — Etude expérimentale	
la structure hyperfine du xénon I	773	de la radiation Hg 2 537 Å	250
Damaschini (R.) et Brochard (J.). — Mécanismes d'excitation		de la radiation Hg 2 537 Å	357
responsables d'une différence entre largeurs d'émission		détermination des constantes rotationnelles du niveau	

Pottier (L.). — Voir Bouchiat (AM.)	1075	Barišić (S.) et Uzelac (K.). — Crossover and scaling in one	
Schweighofer (MG.). — Voir Feneuille (S.)	781	dimension	1267
Sinzelle (J.). — Voir Coulombe (M. C.)	773	Barjhoux (Y.), Boucher (JP.), Devreux (F.), Ferrieu (F.) et	120,
Taieb (G.). — Voir Charneau (R.)	7	Nechtschein (M.). — Polarisation dynamique dans un	
Thibeau (M.). — Voir Berrue (J.)	1079	système de Heisenberg unidimensionnel, le Tanol	859
Vaissade (A.). — Voir Desesquelles (J.)	795	Belin (C.). — Voir Bacquet (G.).	427
Valadier (F.). — Voir Faure (E.)	117	Bellissent (R.), Tourand (G.). — Neutron diffraction study of	721
Verges (J.). — Voir Gerstenkorn (S.)	481	the structure of liquid cerium and praseodymium	97
Vienne-Casalta (D.) et Barrat (JP.). — Etude expérimen-			
tale du transfert d'excitation entre atomes de mercure		Belorizky (E.). — Voir Ayant (Y.)	991
dans les niveaux 6 ³ P ₀ et 6 ¹ S ₀	367	Benoit (H.). — Voir Cotton (J. P.) Bertrand (D.) et Kerner-Czeskleba (H.). — Etude structurale	905
Vienne-Casalta (D.). — Voir Barrat (J. P.)	919	et magnétique de molybdates d'éléments de transition.	379
Vienne (J. F.). — Voir Grandin (J. P.).	787	Besson (R.). — Voir Ayant (Y.).	571
Vigoureux (J. M.) et Payen (R.). — Interaction matière-onde évanescente de Fresnel. II. Absorption par un atome		Betbeder-Matibet (O.). — Voir Astier (M.).	1371
au voisinage d'un dioptre plan	631	Bidaux (R.), Bouree (J. E.) et Hammann (J.). — Diagramme	15/1
Vigue (J.). — Voir Broyer (M.)	235	de phase de l'orthoferrite de terbium en présence d'un	
Zgainski (A.), Churassy (S.) et Lombardi (M.). — Utilisation		champ magnétique	803
d'une expérience de résonance électrique radiofréquence		Blaise (G.) et Cadeville (M. C.). — Electronic structure of	
sur des niveaux excités dans un faisceau d'ions accélérés		F. C. C. NiFe alloys investigated by means of secondary	
à la détermination des sections efficaces d'excitation.		ion emission	545
Application au niveau $n = 6$ de ⁴ He ⁺	1221	Blanchard (C.). — Voir Deville (A.)	1151
		Boissel (P.). — Etude pour la conversion de fréquence infra-	
PHYSIQUE DES PLASMAS		rouge lointain visible dans les vapeurs de métaux alcalins	1023
		Borg (M. A.) et Mlik (Yo.). — Expressions des coefficients	
Delcroix (J. L.). — Voir Ferreira (C. M.) 1233,	1241	de couplage de l'Hamiltonien d'interaction orbite-réseau	
Doucet (H. J.) et Feix (M.). — De l'effet des gradients et des		dans le cas des symétries D _{3h} et C _{3h}	175
courbures sur la réflexion d'une onde électrostatique en	517	Boucher (JP.). — Voir Barjhoux (Y.)	859
plasma hétérogène	517	Bouchriha (H.), Schott (M.) et Fave (J. L.). — Magnetic	
Ferreira (C. M.) et Delcroix (J. L.). — Théorie de la décharge	517	field modulation of triplet-induced delayed fluorescence	
d'arc à cathode creuse I	1233	and photo-enhanced currents in crystalline pyrene	399
Ferreira (C. M.) et Delcroix (J. L.). — Théorie de la décharge	1233	Boudet (A.) et Kubin (L. P.). — Exhaustion mechanisms in the	
d'arc à cathode creuse II	1241	preyield domain of niobium single crystals at low	000
Gazi (R.). — Voir Zoler (D.)	45	temperatures	823
Grosu (I.). — Voir Zoler (D.)	45	Boulon (G.), Pedrini (C.), Guidoni (M.), Pannel (Ch.).	
Laur (F.). — Voir Zoler (D.)	45	Etude de la cinétique des centres luminogènes Bi ³⁺	267
Leclert (G.) et Thieltgen (A.). — Etude théorique et expéri-		dans les cristaux	267
mentale de l'état d'ionisation d'un plasma d'azote créé	511	Bourée (J. E.). — Voir Bidaux (R.).	803
par une décharge réflexe à cathodes froides Popovics (C.). — Etat d'ionisation d'un plasma de haute	511	Bourée (J. E.) et Hammann (J.). — Mise en évidence expérimentale des effets de forme dans l'orthoferrite de	
densité chauffé au moyen d'un laser à CO ₂	1089	terbium	391
Ruscanu (D.). — Voir Zoler (D.)	45	Boyer (L.), Vacher (R.) et Cecchi (C.). — Anisotropie de la	
Thieltgen (A.). — Voir Leclert (G.)	511	diffusion Rayleigh dans un cristal plastique : le succino-	
Zoler (D.), Grosu (I.), Laur (F.), Gazi (R.) et Ruscanu (D.).		nitrile	1347
— Compression of a plasma column of infinite electro-		Bras (J.). — Voir Fagot (M.)	1115
conductivity situated in an external axial magnetic		Brehat (F.). — Voir Wyncke (B.)	159
field	45	Brehat (F.). — Voir Wyncke (B.).	877
DIMINION DE LA MARIÈRE COMPENIO	50	Briguet (A.), Duplan (JC.), Delmeau (J.). — Etude de la	
PHYSIQUE DE LA MATIÈRE CONDENS	EE	relaxation magnétique nucléaire dans le trichloro- silane liquide	897
Alizon (J.). — Voir Ayant (Y.)	991	Brouers (F.) et Ducastelle (F.). — Spin susceptibility in a	0,1
Apostolov (A.). — Voir Coing-Boyat (J.)	1165	narrow degenerate band	851
Armand (G.). — Théorie de la collision atome neutre-cristal		Brouers (F.). — Local spin susceptibility in disordered	
en approximation harmonique	75	alloys	1279
Astier (M.), Betbeder-Matibet (O.), Calecki (D.), Hulin (M.)		Cabaud (B.). — Voir Hoareau (A.)	737
et Pottier (N.). — The density of states of a particular	1271	Cabaud (B.). — Voir Hoareau (A.)	979
class of topologically disordered structures	1371	Cadeville (M. C.). — Voir Blaise (G.)	545
Ayant (Y.), Belorizky (E.), Alizon (J.) et Gallice (J.). — Calcul des densités spectrales résultant d'un mouve-		Cai (L.). — Voir Godefroy (G.)	727 1371
ment aléatoire de translation en relaxation par interac-		Cecchi (C.). — Voir Boyer (L.)	1347
tion dipolaire magnétiques dans les liquides	991	Champagnon (B.). — Voir Duval (E.)	559
Ayant (Y.), Besson (R.) et Salvi (A.). — Etude expérimentale		Chapoton (A.). — Voir Parneix (JP.)	1143
et théorique de la largeur des raies R. P. E. du tatone		Chopin (C.), Spanjaard (D.) et Hartmann-Boutron (F.).	
en solution	571	Paramagnetic relaxation effects in perturbed angular	
Bachellerie (A.). — Voir Tsallis (C.)	171	correlations for arbitrary electronic relaxation time	961
Bacquet (G.), Dugas (J.), Escribe (C.), Youdri (L.) et Belin (C.).		Coing Royat (I) Severat (F) et Apostolov (A) — Coracté-	727
— E. S. R. of CO ₃ ³ -Li ⁺ centre in irradiated synthetic	427	Coing-Boyat (J.), Sayetat (F.) et Apostolov (A.). — Caractéristiques cristallographiques, propriétés et structure	
single crystal calcite	153	magnétiques de TbPO ₄ dans la gamme 1,5 K-300 K	1165
Barisić (S.) et Uzelac (K.). — $d \rightarrow d'$ crossover in the aniso-	100	Constant (E.). — Voir Parneix (JP.)	1143
tropic free Bose gas	325	Čopič (M.). — Voir Cvikl (B.)	441

Cotton (J. P.), Benoit (H.). — Etude du contraste et de son		Gobin (P. F.). — Voir Tatibouet (J.)	69
influence sur les déterminations de l'intensité diffusée		Godefroy (G.), Cochet (C.), Cai (L.) et Jullien (P.).	
et du rayon de giration dans les systèmes de macro-		Photocourants dans le titanate de baryum monocris-	
molécules hétérogènes	905	tallin dopé au fer ou au cobalt	727
Couderc (JJ.). — Voir Fagot (M.)	1115	Goldman (M.) et Sarma (G.). — Restricted-trace approxi-	
Courdille (J. M.), Deroche (R.) et Dumas (J.). — Critical		mation for nuclear antiferromagnetism	1353
behavior of acoustical waves in ferroelectric-ferroelastic		Guidoni (M.). — Voir Boulon (G.)	267
phase of $Tb_2(MoO_4)_3$	891	Guillon (D.), Mathis (A.) et Skoulios (A.). — Etude par	
Cvikl (B.), Copič (M.), Dimic (V.), Doane (J. W.) et Frank-		diffraction des rayons X aux petits angles du polymor-	
lin (W.). — Molecular translation-rotational coupling		phisme smectique du Di-(p, n-octadécyloxybenzylidène	
contribution to neutron incident line broadening in		amino)-4, 4'-diphényle	69:
nematic liquid crystals	441	Gutowski (M.). — Voir Jelenski (A.)	1011
Cyrot (M.) et Lyon-Caen (C.). — Orbital superlattice in the		Guyon (E.). — Voir Deuling (H. J.)	689
degenerate Hubbard model	253	Guyon (E.). — Voir Pieranski (P.)	1003
Dagens (L.). — Densité de valence et énergie de liaison d'un		Hadni (A.). — Voir Wyncke (B.)	159
métal simple par la méthode de l'atome neutre : le		Hadni (A.). — Voir Wyncke (B.)	871
potentiel ionique Hartree-Fock	521	Hammann (J.). — Voir Bidaux (R.)	803
Daoudi (S.). — Régimes transitoires simples de fortes défor-		Hammann (J.). — Voir Bourée (J. E.)	391
mations d'une macromolécule	1285	Hartman-Boutron (F.). — Voir Chopin (C.)	96
Delannoy (M.) et Perrin (G.). — Etude d'une équation d'état		Hartmann-Boutron (F.), Spanjaard (D.). — On the use of	
du 3e ordre. Application au magnésium, au zinc et au	1122	Liouville relaxation supermatrices in Mössbauer studies	301
quartz Delmeau (J.). — Voir Briguet (A.)	1123 897	Heritier (M.). — Voir Hone (D.)	1249
Delsarte (G.). — Elastorésistivité des impuretés dans le	071	Heritier (M.). — Voir Joyes (P.).	41
cuivre	1261	Hoareau (A.), Joyes (P.) et Cabaud (B.). — Etude des agré-	
Deroche (R.). — Voir Courdille (J. M.).	891	gats de sélénium en phase vapeur en fonction de leur	
Derrien (J. Y.) et Dupuy (J.). — Analyse structurale des liqui-	071	taille. II. Structure électronique des chaînes de sélénium	
des ioniques KCl et CsCl par diffraction de neutrons	191	dans l'approximation des liaisons fortes et par une	0.7
Deuling (H. J.), Gabay (M.), Guyon (E.) et Pieranski (P.).	171	méthode self-consistent du type CNDO	979
— Freedericksz transition of nematics in an oblique		Hoareau (A.), Reymond (JM.), Cabaud (B.) et Uzan (R.).	
magnetic field	689	Etude des agrégats de sélénium en phase vapeur en	
Deville (A.), Blanchard (C.), Gaillard (B.) et Gayda (JP.).	007	fonction de leur taille. I. Résultats expérimentaux par	72
Relaxation study of a 3d ⁵ ion in T _d symmetry:		spectrométrie de masse	73
Mn ⁺⁺ ion ZnS	1151	Hone (D.), Lederer (P.) et Heritier (M.). — Impurity-induced	10.4
Devreux (F.). — Voir Barjhoux (Y.).	859	magnetic coupling in narrow band semiconductors	1249
Dimic (V.). — Voir Cvikl (B.).	441	Hulin (M.). — Voir Astier (M.).	137
Djafari-Rouhani (B.) et Dobrzynski (L.). — Magnons et	771	Jähnig (F.). — Critical damping of first and second sound	21
surstructures magnétiques d'interface	835	at a smectic A-nematic phase transition	31:
Doane (J. W.). — Voir Cvikl (B.)	441	Jardin (J. P.) et Labbe (J.). — Modèle pour la structure	121
Dobrzynski (L.). — Voir Djafari-Rouhani (B.)	835	électronique des composés pérovskites du manganèse.	131
Dobrzynski (L.). — Voir Masri (P.)	551	Jeandey (C.) et Peretto (P.). — Effet Mössbauer en ligne et	
Drexel (W.). — Voir Lethuillier (P.)	329	effet de recul dans les alliages de substitution $Fe_{1-x} Al_x$	110
Ducastelle (F.). — Voir Brouers (F.)	851	(b.c.c.) et Fe-Ni (c.f.c.)	110 41:
Dugas (J.). — Voir Bacquet (G.)	427	Jelenski (A.), Szymczak (H.) et Gutowski (M.). — Optical	71.
Dumas (J.). — Voir Courdille (J. M.)	891	phonon part in spin-lattice relaxation of Cr ³⁺ and	
Duplan (JC.). — Voir Briguet (A.)	897	Fo ³⁺ ions in suite	101
Dupuy (J.). — Voir Derrien (J. Y.)	191	Fe ³⁺ ions in rutile	101
Duval (E.), Louat (R.), Champagnon (B.), Lacroix (R.) et			81
et Weber (J.). — Uniaxial stress effect on the ${}^{1}A_{1} \rightarrow {}^{1}T_{1}$		glasses. Jouffrey (B.). — Voir Mory (C.).	16:
transition of Co ³⁺ in α-Al ₂ O ₃	559	Jouffroy (J.) et Levinson (P.). — Réfraction conique et	10.
Escribe (C.). — Voir Bacquet (G.)	427	activité acoustique dans le quartz	709
Fagot (M.), Bras (J.), Couderc (JJ.) et Peyrade (JP.).		Joyes (P.), Leleyter (M.), Lederer (P.) et Heritier (M.).	70.
Défauts bidimensionnels dans le composé Fe ₃ Ga de		Spectre de niveaux d'ions moléculaires à la limite des	
structure DO ₁₉	1115	fortes énergies intra-atomiques de corrélation	41
Farge (Y.). — Voir Kleemann (W.)	1293	Joyes (P.). — Voir Hoareau (A.)	979
Fave (J. L.). — Voir Bouchriha (H.)	399	Jullien (P.). — Voir Godefroy (G.)	72
Ferre (J.). — Voir Petit (R. H.)	431	Keller (P.). — Voir Pieranski (P.).	100
Ferrieu (F.). — Voir Barjhoux (Y.)	859	Kekelidze (N. P.) et Kvinikadze (Z. V.). — Thermoelectric	100.
Fontaine (A.). — Origine des contrastes observés pour les		power in semiconducting alloys in the InP _x As _{1-x}	
petits précipités ordonnés θ'' dans Al-Fe 3 % at	531	system	88
Franklin (W.). — Voir Cvikl (B.)	441		
Gabay (M.). — Voir Deuling (H. J.)	689	Kerner-Czeskleba (H.). — Voir Bertrand (D.)	379
Gabriel (M.). — Voir Larcher (D.)	447	Kielich (S.), Kozierowski (M.) et Lalanne (J. R.). — Second	
Gaillard (B.). — Voir Deville (A.)	1151	harmonic elastic light scattering by molecular liquid	101
Gaillard (J.) et Gloux (P.). — Mise en évidence par Endor des		mixtures	101:
configurations de domaines dans la phase ferroélec-		Kielich (S.). — Voir Wozniak (S.)	130:
trique du cristal de KH ₂ AsO ₄ irradié	683	Kleemann (W.) et Farge (Y.). — Optical properties and	
Gallice (J.). — Voir Ayant (Y.)	991	ferromagnetic order in K ₂ CuF ₄	1293
Gayda (JP.). — Voir Deville (A.)	1151	Kleman (M.). — Voir Vitek (V.)	59
Gerritsma (C. J.). — Voir Geurst (J. A.)	653	Kleman (M.) et Parodi (O.). — Covariant elasticity for	
Geurst (J. A.), Spruijt (A. M. J.) et Gerritsma (C. J.).		smectics A	67
Dynamics of $S = \frac{1}{2}$ disclinations in twisted nematics.	653	Knorr (K.). — Voir Lethuillier (P.).	329
Gloux (P.). — Voir Gaillard (J.)	683	Kolodziejski (R.). — Voir Olbrychski (K.)	98:

Kozierowski (M.). — Voir Kielich (S.)	1015	Peyronneau (J.). — Voir Leliwa Kopystynski (J.)	1273
Kubin (L. P.). — Voir Boudet (A.)	823	Pieranski (P.). — Voir Deuling (H. J.)	689
Kunert (H.). — Voir Olbrychski (K.)	985	Pieranski (P.), Guyon (E.) et Keller (P.). — Shear flow induc-	
Kvinikadze (Z. V.). — Voir Kekelidze (N. P.)	883	ed polarization in ferroelectric smectics C	1005
Labbe (J.). — Voir Jardin (J. P.)	1317	Pierre (J.). — Voir Lethuillier (P.)	329
Lacam (A.). — Voir Leliwa Kopystynski (J.)	1273	Pierre (M.). — Spectre d'absorption du fluorobenzène	
Lacroix (R.). — Voir Duval (E.).	559	monocristallin à 4 K. Interprétation et localisation de	
Lalanne (J. R.). — Voir Kielich (S.).	1015	l'exciton	1095
Langevin (D.). — Diffusion de la lumière par la surface libre		Pottier (N.). — Voir Astier (M.).	1371
d'un cristal liquide au voisinage d'une transition néma-	745	Priest (R. G.). — Simple model for the smectic A-smectic C	400
tique-smectique A du second ordre	745	phase transition	437
Larcher (D.) et Gabriel (M.). — Etude par dichroïsme circulaire magnétique des transitions d-d de complexes		Pušnik (F.), Schara (M.) et Šentjurc (M.). — EPR relaxation	((5
octaédriques du manganèse (II) en solution	447	study of a liquid crystal	665
Laugier (A.). — Statistique des solutions solides quaternaires	77/	Rocher (A.). — Voir Mory (C.).	737 163
régulières dans les structures à deux sous-réseaux iden-		Rosso (M.). — Voir Morigaki (K.).	1131
tiques	555	Ryschenkow (G.). — Note sur une méthode d'étude des	1131
Lederer (P.). — Voir Joyes (P.).	411	défauts de surface des lames nématiques orientées par	
Lederer (P.). — Voir Hone (D.).	1249	un support directionnel	243
Leleyter (M.). — Voir Joyes (P.)	411	Salvi (A.). — Voir Ayant (Y.)	571
Leliwa Kopystynski (J.), Peyronneau (J.) et Lacam (A.). —		Sarma (G.). — Voir Goldman (M.)	1353
Transformations solide-solide sous hautes pressions.		Sayetat (F.). — Voir Coing-Boyat (J.).	1165
Modèles cinétiques de croissance	1273	Schara (M.). — Voir Pušnik (F.)	665
Lethuillier (P.), Pierre (J.), Knorr (K.) et Drexel (W.). —		Schott (M.). — Voir Bouchriha (H.)	399
Crystal fields and magnetic properties of NdSn ₃ , NdPb ₃ ,		Šentjurc (M.). — Voir Pušnik (F.)	665
and NdIn ₃	329	Skoulios (A.). — Voir Guillon (D.)	695
Levelut (A.). — Voir Joffrin (J.)	811	Spanjaard (D.). — Voir Chopin (C.)	961
Levelut (A. M.). — Croissance épitaxique de phases smecti-		Spanjaard (D.). — Voir Hartmann-Boutron (F.)	307
ques ordonnées sur du mica	1029	Spilbauer (M. N.). — Voir Teng (M. K.)	153
Levinson (P.). — Voir Jouffroy (J.)	709	Spruijt (A. M. J.). — Voir Geurst (J. A.)	653
Lignou (F.) et Payen de la Garanderie (H.). — Variation de		Suffczynski (M.). — Voir Olbrychski (K.)	985
la largeur des bandes d'émission des corps luminescents		Szymczak (H.). — Voir Jelenski (A.)	1011
avec la température	1341	Tatibouet (J.), Vassoille (R.), Perez (J.) et Gobin (P. F.).	
Linares (C.) et Louat (A.). — Interpretation of the crystal		Influence de la déformation plastique sur les propriétés	
field parameters by the superposition and angular		ultrasonores de la glace I _h	69
overlap models. Application to some lanthanum	717	Teng (M. K.), Spilbauer (M. N.) et Balkanski (M.). — Phénomènes de résonance et de transfert en intensité Raman	
compounds	717	dans SbSI	153
Louat (R.). — Voir Duval (E.)	559	Toulouse (G.). — Le gaz d'électrons et la transition métal-	133
Louat (A.). — Voir Linares (C.)	717. 253	isolant à d dimensions : illustration de concepts liés à	
Lyon-Caen (C.). — Voir Cyrot (M.)	255	la symétrie de dilatation	1137
critical fields for a system of weakly coupled super-		Tourand (G.). — Voir Bellissent (R.).	97
conducting filaments	701	Tsallis (C.) et Bachellerie (A.). — Contribution of the central	
Masri (P.) et Dobrzynski (L.). — Phonons in the presence	,01	peak to the ultrasonic attenuation in structural phase	
of a planar defect	551	transitions	171
Mathis (A.). — Voir Guillon (D.)	695	Uzan (R.). — Voir Hoareau (A.)	737
Mlik (Yo.). — Voir Borg (M. A.)	175	Uzelac (K.). — Voir Barišić (S.)	325
Morigaki (K.) et Rosso (M.). — ESR Study of interacting		Uzelac (K.). — Voir Barišić (S.).	1267
donor clusters in phosphorus-doped silicon at 100 GHz		Vacher (R.). — Voir Boyer (L.)	1347
and low temperatures	1131	Varret (F.) et Jehanno (G.). — Etude Mössbauer des pro-	
Mory (C.), Rocher (A.) et Jouffrey (B.). — Observation de		priétés électroniques, magnétiques et hyperfines de Fe ²⁺	
défauts d'empilement sous très haute tension	163	dans les fluosilicates	415
Nechtschein (M.). — Voir Barjhoux (Y.)	859	Vassoille (R.). — Voir Tatibouet (J.)	69
Nouet (J.). — Voir Petit (R. H.).	431	Vigoureux (J. M.) et Payen (R.). — Interaction matière-onde	
Olbrychski (K.), Kolodziejski (R.), Kunert (H.) et Suffc-		évanescente de Fresnel. III. — Diffusion Raman au	
zynski (M.). — Selection rules for the space group of		voisinage d'un dioptre-plan	1327
Cu ₂ O, at four symmetry points of the Brillouin zone	985	Villain (J.). — Theory of one-and two-dimensional magnets with an easy magnetization plane. II. — The planar,	
Pannel (Ch.). — Voir Boulon (G.)	267	classical, two-dimensional magnet	581
Parneix (JP.), Chapoton (A.) et Constant (E.). — Proprié-		Vitek (V.) et Kleman (M.). — Surface disclinations in nema-	201
tés diélectriques du P-méthoxyphénylazoxy-P'-butyl-		tic liquid crystals	59
benzène en phases nématique et liquide	1143	Weber (J.). — Voir Duval (E.)	559
Parodi (O.). — Voir Kleman (M.)	671	Wehenkel (C.). — Mise au point d'une nouvelle méthode	
Parsons (J. D.). — Fluctuations near the convective instabi-	0,1	d'analyse quantitative des spectres de pertes d'énergie	
lity in a cholesteric liquid crystal	1363	d'électrons rapides diffusés dans la direction du fais-	
Payen (R.). — Voir Vigoureux (J. M.)	1327	ceau incident : Application à l'étude des métaux nobles.	199
Payen de la Garanderie (H.). — Voir Lignou (F.)	1341	Wozniak (S.) et Kielich (S.). — Effective optical anisotropy	
Pedrini (C.). — Voir Boulon (G.)	267		1305
Perrin (G.). — Voir Delannoy (M.)	1123	Wyncke (B.), Brehat (F.) et Hadni (A.). — Spectre dans l'in-	
Peretto (P.). — Voir Jeandey (C.)	1103	frarouge lointain d'un monocristal de parabenzoqui-	1.00
Perez (J.). — Voir Tatibouet (J.)	69	none	159
Petit (R. H.), Ferre (J.) et Nouet (J.). — Magneto-optical		Wyncke (B.), Brehat (F.) et Hadni (A.). — Spectres d'absorp-	
observation of a magnetically induced « domain spin-	1.2	tion de l'acide oxalique dihydraté dans l'infrarouge	977
flop » in a cubic antiferromagnet : KNiF ₃	431	lointain	877 427
Peyrade (JP.). — Voir Fagot (M.)	1115	Youari (L.) Your Dacquet (G.)	141



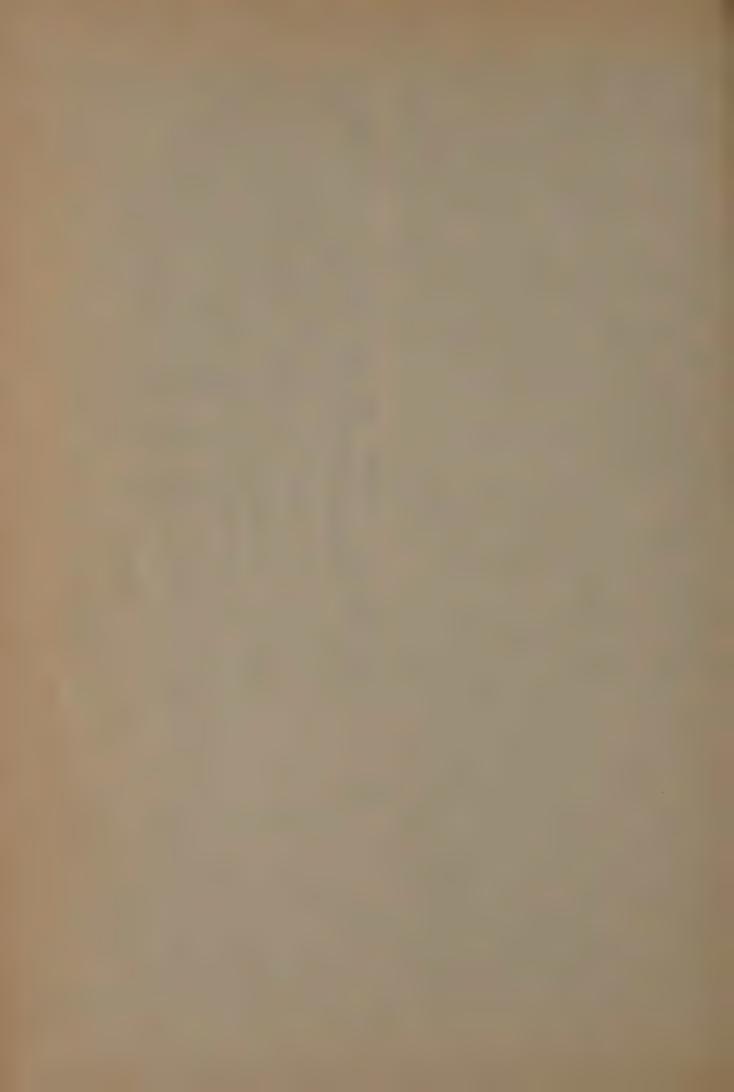
JOURNAL DE PHYSIQUE LETTRES

Tome 36 — 1975

MÉCANIQUE STATISTIQUE		Guilbault (F.). — Voir Lebrun (C.)	L-201
Bright Co.		Hubert (F.). — Voir Gardes (D.)	L-59
Bervillier (C.). — Critical behaviour in a field for uniaxial		Husson (JP.). — Voir Deleplanque (MA.)	L-205
ferroelectrics and ferromagnets with dipolar interac-		Ishihara (M.). — Voir Deleplanque (MA.)	L-205
tion	L-225	Kilcher (P.). — Voir Deleplanque (MA.)	L-205
Brezin (E.). — Amplitudes of the logarithmic singularities		Labie (E.), Leleux (P.), Macq (P. C.). — Etude de configu-	
for the four-dimensional critical behavior	L-51	ration $(d_{5,2})_{5+}^2$ dans ²² Na et ²⁴ Na	L-1
De Gennes (PG.). — Collapse of a polymer chain in poor		Lachkar (J.), Patin (Y.) et Sigaud (J.). — Etude expérimen-	
solvents	L-55	tale des effets dynamiques dans la fission de 240Pu à	
SOLVENICS	200	basse énergie	L-79
		Le Beyec (Y.). — Voir Cabot (C.)	L-289
DINCIONE MUCIÉAIDE		Lebrun (C.), Guilbault (F.), Avignon (P.) et Deschamps (Y.).	
PHYSIQUE NUCLÉAIRE		— Vies moyennes de quelques niveaux du noyau ¹⁹ F	L-201
		Leclerq-Willain (Ch.). — Voir Da Silveira (R.).	L-117
Abragam (A.), Bacchella (G. L.), Glättli (H.), Mériel (P.),		Lefort (M.). — Voir Cabot (C.)	L-289
Piesvaux (J.) et Pinot (M.). — Spin-Dependent scatter-		Leleux (P.). — Voir Labie (E.).	
ing lengths of slow neutrons with nuclei by pseudoma-		Lepareux (M.). — Voir Avril (M.).	L-229
gnetic measurements	L-263	Leprêtre (A.). — Voir Veyssière (A.).	L-267
Avignon (P.). — Voir Lebrun (C.)	L-201	Letessier (J.). — Voir Deleplanque (MA.).	L-207
Avril (M.), Lepareux (M.), Saunier (N.), Foti (A.), Pappa-		Loiseaux (JM.). — Voir Doubre (H.).	L-203
lardo (G.) and Strazzeri (A.). — Angular correlation			
study of some highly excited levels of ¹⁶ O	L-229	Macq (P. C.). — Voir Labie (E.).	L-1
Bacchella (G. L.). — Voir Abragam (A.)	L-263	Magnac-Valette (D.). — Voir Baghdadi (A.)	L-181
Baghdadi (A.), Seltz (R.), Magnac-Valette (D.), Bonneaud	Turk Val	Martin (P.). — Voir Doubre (H.)	L-113
(G.) et Gérardin (C.). — Mesures de facteurs spectrosco-		Mériel (P.). — Voir Abragam (A.)	L-263
piques de ⁶¹ Ni par réaction (d, p) en régime sous-cou-		de Miniac (A.). — Voir Veyssière (A.)	L-267
lombien	L-181	Ngô (C.). — Voir Peter (J.)	L-23
Beil (H.). — Voir Veyssière (A.).	L-161 L-267	Pappalardo (G.). — Voir Avril (M.)	L-229
		Patin (Y.). — Voir Lachkar (J.)	L-79
Berg (V.). — Voir Deleplanque (MA.)	L-205	Perrin (N.). — Voir Deleplanque (MA.)	L-205
Bergère (R.). — Voir Veyssière (A.)	L-267	Peter (J.), Ngô (C.), Tamain (B.). — Quasi-fission reactions	
Bimbot (R.). — Voir Gardes (D.)	L-59	induced by 365 MeV ⁶³ Cu ions on a ¹⁹⁷ Au target	L-23
Bonneaud (G.). — Voir Baghdadi (A.)		Piesvaux (J.). — Voir Abragam (A.)	L-263
Bourgeois (C.). — Voir Deleplanque (MA.).	L-205	Pinot (M.). — Voir Abragam (A.)	L-263
Cabot (C.), Gauvin (H.), Le Beyec (Y.) and Lefort (M.).	N . U .	Plagnol (E.). — Voir Doubre (H.)	L-113
Range of orbital angular momenta available for com-		Rivet (M. F.). — Voir Gardes (D.)	L-59
plete fusion between heavy ions	L-289	Roynette (JC.). — Voir Doubre (H.)	L-113
Carlos (P.). — Voir Veyssière (A.).	L-267	de Saintignon (P.). — Voir Doubre (H.)	L-113
Da Silveira (R.) and Leclerq-Willain (Ch.). — Large-angle	ALCOHOL:	Saunier (N.). — Voir Avril (M.)	L-229
oscillations in heavy ion elastic and inelastic scattering.	L-117	Seltz (R.). — Voir Baghdadi (A.)	L-181
Deleplanque (M. A.), Gerschel (C.), Ishihara (M.), Perrin		Sigaud (J.). — Voir Lachkar (J.)	L-79
(N.), Berg (V.), Bourgeois (C.), Desthuilliers (M. G.),		Strazzeri (A.). — Voir Avril (M.)	L-229
Husson (JP.), Kilcher (P.) et Letessier (J.). — Coexis-		Tamain (B.). — Voir Peter (J.)	L-23
tence de forme dans le noyau ¹⁸⁷ Au	L-205	Veyssière (A.), Beil (H.), Bergère (R.), Carlos (P.), Leprê-	
Deschamps (Y.). — Voir Lebrun (C.)	L-201	tre (A.) et de Miniac (A.). — Etude de la résonance	
Desthuilliers (MG.). — Voir Deleplanque (MA.)	L-205	géante dipolaire dans la région de transition autour de	
Doubre (H.), Plagnol (E.), Roynette (JC.), Loiseaux (JM.),		$A = 190 \dots$	L-267
Martin (P.) and de Saintignon (P.). — How does the		<i>A</i> = 150	120
elastic scattering of ¹² C + ²⁰ Ne compare with that of			
¹⁶ O + ¹⁶ O ?	L-113	PHYSIQUE ATOMIQUE ET MOLÉCULA	IRE
Fleury (A.). — Voir Gardes (D.).	L-59	THISIQUE ATOMIQUE ET MOLECCEA	
Foti (A.). — Voir Avril (M.).	L-229	Armstrong Jr. (L.). — Voir Feneuille (S.)	L-235
Gardes (D.), Bimbot (R.), Fleury (A.), Hubert (F.) et Rivet	Times?	Audoin (C.). — Voir Desaintfuscien (M.)	L-281
(M. F.). — Influence of energetics on the thresholds of		Avan (P.) and Cohen-Tannoudji (C.). — Hanle effect for	
heavy ion transfer reactions	L-59	monochromatic exitation. Non perturbative calcu-	
Gauvin (H.). — Voir Cabot (C.).	L-289	lation for a $J = 0$ to $J = 1$ transition	L-85
Gérardin (C.). — Voir Baghdadi (A.)	L-181	Bauche-Arnoult (C.) and Labarthe (JJ.). — Comparison	
Gerschel (C.). — Voir Deleplanque (MA.).	L-101 L-205	between magnetic-hyperfine-structure parameters in	
	L-263	SCI and Til	L-285
Glättli (H.). — Voir Abragam (A.)	L-203	SCI and There is a second seco	200

Biraben (F.), Cagnac (B.) et Grynberg (G.). — Deplacement		Bach (JC.). — Anisotropie de l'attenuation ultrasonore	
et élargissement de la transition à deux photons 3S-4D		au-dessus d'une transition smectique A-nématique.	T 100
dans l'atome de sodium par collision contre des atomes	1000	Détermination d'un temps de relaxation	L-17
de néon	L-41	Bacri (JC.). — Atténuation et vitesse ultrasonores cri-	
Bouchiat (MA.) and Pottier (L.). — Observation of the		tiques au-dessous d'une transition smectique A-cho-	
$6S_{1/2}$ - $7S_{1/2}$ single-photon transition of cesium induced		lestérique faiblement du 1er ordre	L-259
by an external d.c. electric field	L-189	Barišić (S.). — Voir Bjelis (A.)	L-169
Bousquet (C.), Bras (N.) et Lennuier (R.). — Elargissement		Belin (M.). — Voir Léger (A.)	L-301
et déplacement de la raie 1 849 Å absorbée par la vapeur		Bellessa (G.). — Rayleigh sound wave propagation on a gal-	
de mercure en présence d'argon	L-233	lium single crystal in a liquid He ³ bath	L-137
Bras (N.). — Voir Bousquet (C.)	L-233	Ben Ghorbal (M.), Duval (E.) et Champagnon (B.). — Pom-	
Cagnac (B.). — Voir Biraben (F.)	L-41	page direct des paires d'ions Cr^{3+} dans le rubis	L-101
	15-41	Bénières (F.). — Entropy of formation of vacancies in solids	L-9
Cazabat (AM.) et Lallemand (P.). — Etude expérimentale	T 20	1 1 2 1 0 2 1 2 1	
de la diffusion Rayleigh-Brillouin dans le méthane	L-29	Bernas (H.). — Voir Lamoise (AM.)	L-271
Champeau (RJ.) and Keller (JC.). — High resolution		Bernas (H.). — Voir Lamoise (AM.)	L-305
optical spectroscopy in neon using a tunable laser and		Bjelis (A.) and Barisić (S.). — Effects of phonon dynamics	
an excited atomic beam	L-161	on electron in one-dimensional conductors	L-169
Cohen-Tannoudji (C.). — Voir Avan (P.)	L-85	Blandin (A.), Hone (D.) et Nourtier (A.). — Localized	
Daoud (M.). — Voir Farnoux (B.)	L-35	time-dependent perturbations in metals	L-109
Decker (D.). — Voir Farnoux (B.)	L-35	Brauwers (M.). — Voir Brouers (F.).	L-17
Desaintfuscien (M.), Viennet (J.), Audoin (C.) and Vanier (J.).			117
— Temperature dependence of spin exchange frequency		Brouers (F.) and Brauwers (M.). — On the temperature	
shifts in H-H collisions	L-281	dependence of electrical resistivity in concentrated	T 15
Duguet (A.) et Jaegle (A.). — Mesure des sections efficaces	D 201	disordered transition binary alloys	L-17
		Busch (M.). — Voir Toledano (JC.)	L-141
différentielles totales de diffusion des électrons de		Candau (S.), Martinoty (P.) et Zana (R.). — Ultrasonic	
40 keV par l'atome d'argon. Effet des corrélations		investagation of rotational isomerism on mesomor-	
électroniques	L-193	phic compounds	L-13
Farnoux (B.), Daoud (M.), Decker (D.), Jannink (G.) et		Carrigan (CR.) and Guyon (E.). — Convection driven by	
Ober (R.). — Shape change of the flexible polymer in		centrifugal buoyancy in nematics	L-145
solution with increasing concentration	L-35	Carton (JP.). — On the superfluid phases of ³ He in a	
Feneuille (S.) et Armstrong Jr. (L.). — Phénomènes d'in-		magnetic field	L-213
terférences dépendant du flux lumineux dans les pro-			1-213
cessus résonnants d'ionisation multiphotonique	L-235	Castaing (B.) et Libchaber (A.). — Onde thermique dans	T 200
Gay (JC.) and Schneider (WB.). — Quasi resonant colli-		l'hélium 4 cubique centré	L-309
sional excitation transfer between Zeeman sublevels		Champagnon (B.). — Voir Ben Ghorbal (M.)	L-101
in high magnetic fields	T 195	Chaumont (J.). — Voir Lamoise (AM.)	L-271
	L-185	Chaumont (J.). — Voir Lamoise (AM.)	L-305
Gay (JC.). — Couplage entre alignement et orientation	T 000	Cheveigne de (S.). — Voir Léger (A.)	L-301
par collisions en champ magnétique intense	L-239	Cooper (JR.), Jérôme (D.), Weger (M.) and Etemad (S.).	
Giacobino (E.). — Determination of the hyperfine structure		The electrical conductivity of TTE TONIO	
		The electrical colludelivity of TIF-ICNO under	
of the 2p levels of ²¹ Ne using a CW tunable dye laser	L-65	The electrical conductivity of TTF-TCNQ under pressure	I -219
of the 2p levels of ²¹ Ne using a CW tunable dye laser Grynberg (G.). — Voir Biraben (F.)	L-65 L-41	pressure	L-219
of the 2p levels of ²¹ Ne using a CW tunable dye laser		pressure	
of the 2p levels of ²¹ Ne using a CW tunable dye laser Grynberg (G.). — Voir Biraben (F.) Jannink (G.). — Voir Farnoux (B.)	L-41	pressure Courdille (JM.) et Dumas (J.). — Atténuation ultrasonore critique dans $Gd_2(MoO_4)_3$	L-5
of the 2p levels of ²¹ Ne using a CW tunable dye laser Grynberg (G.). — Voir Biraben (F.) Jannink (G.). — Voir Farnoux (B.) Jaegle (A.). — Voir Duguet (A.)	L-41 L-35 L-193	pressure Courdille (JM.) et Dumas (J.). — Atténuation ultrasonore critique dans Gd ₂ (MoO ₄) ₃ Cyrot-Lackmann (F.). — Voir Desjonquères (MC.)	L-5 L-45
of the 2p levels of ²¹ Ne using a CW tunable dye laser Grynberg (G.). — Voir Biraben (F.). Jannink (G.). — Voir Farnoux (B.). Jaegle (A.). — Voir Duguet (A.). Keller (JC.). — Voir Champeau (RJ.).	L-41 L-35 L-193 L-161	pressure Courdille (JM.) et Dumas (J.). — Atténuation ultrasonore critique dans $Gd_2(MoO_4)_3$. Cyrot-Lackmann (F.). — Voir Desjonquères (MC.). Defourneau (D.). — Voir Léger (A.).	L-5 L-45 L-30
of the 2p levels of ²¹ Ne using a CW tunable dye laser Grynberg (G.). — Voir Biraben (F.). Jannink (G.). — Voir Farnoux (B.). Jaegle (A.). — Voir Duguet (A.). Keller (JC.). — Voir Champeau (RJ.). Labarthe (JJ.). — Voir Bauche-Arnoult (C.).	L-41 L-35 L-193 L-161 L-285	pressure Courdille (JM.) et Dumas (J.). — Atténuation ultrasonore critique dans Gd ₂ (MoO ₄) ₃ Cyrot-Lackmann (F.). — Voir Desjonquères (MC.)	L-5 L-45
of the 2p levels of ²¹ Ne using a CW tunable dye laser Grynberg (G.). — Voir Biraben (F.). Jannink (G.). — Voir Farnoux (B.). Jaegle (A.). — Voir Duguet (A.). Keller (JC.). — Voir Champeau (RJ.). Labarthe (JJ.). — Voir Bauche-Arnoult (C.). Lallemand (P.). — Voir Cazabat (AM.).	L-41 L-35 L-193 L-161 L-285 L-29	pressure Courdille (JM.) et Dumas (J.). — Atténuation ultrasonore critique dans $Gd_2(MoO_4)_3$. Cyrot-Lackmann (F.). — Voir Desjonquères (MC.). Defourneau (D.). — Voir Léger (A.).	L-5 L-45 L-30
of the 2p levels of ²¹ Ne using a CW tunable dye laser Grynberg (G.). — Voir Biraben (F.). Jannink (G.). — Voir Farnoux (B.). Jaegle (A.). — Voir Duguet (A.). Keller (JC.). — Voir Champeau (RJ.). Labarthe (JJ.). — Voir Bauche-Arnoult (C.). Lallemand (P.). — Voir Cazabat (AM.). Lennuier (R.). — Voir Bousquet (C.).	L-41 L-35 L-193 L-161 L-285 L-29 L-233	pressure Courdille (JM.) et Dumas (J.). — Atténuation ultrasonore critique dans Gd ₂ (MoO ₄) ₃ Cyrot-Lackmann (F.). — Voir Desjonquères (MC.). Defourneau (D.). — Voir Léger (A.). De Groot (R.). — Voir Sommers (C.). Desjonquères (MC.) and Cyrot-Lackmann (F.). — d Sur-	L-5 L-45 L-30
of the 2p levels of ²¹ Ne using a CW tunable dye laser Grynberg (G.). — Voir Biraben (F.). Jannink (G.). — Voir Farnoux (B.). Jaegle (A.). — Voir Duguet (A.). Keller (JC.). — Voir Champeau (RJ.). Labarthe (JJ.). — Voir Bauche-Arnoult (C.). Lallemand (P.). — Voir Cazabat (AM.). Lennuier (R.). — Voir Bousquet (C.). Ober (R.). — Voir Farnoux (B.).	L-41 L-35 L-193 L-161 L-285 L-29 L-233 L-35	pressure Courdille (JM.) et Dumas (J.). — Atténuation ultrasonore critique dans Gd ₂ (MoO ₄) ₃ Cyrot-Lackmann (F.). — Voir Desjonquères (MC.). Defourneau (D.). — Voir Léger (A.). De Groot (R.). — Voir Sommers (C.). Desjonquères (MC.) and Cyrot-Lackmann (F.). — d Surface states in transition metals.	L-55 L-45 L-30 L-157
of the 2p levels of ²¹ Ne using a CW tunable dye laser. Grynberg (G.). — Voir Biraben (F.). Jannink (G.). — Voir Farnoux (B.). Jaegle (A.). — Voir Duguet (A.). Keller (JC.). — Voir Champeau (RJ.). Labarthe (JJ.). — Voir Bauche-Arnoult (C.). Lallemand (P.). — Voir Cazabat (AM.). Lennuier (R.). — Voir Bousquet (C.). Ober (R.). — Voir Farnoux (B.). Pottier (L.). — Voir Bouchiat (MA.).	L-41 L-35 L-193 L-161 L-285 L-29 L-233 L-35 L-189	pressure Courdille (JM.) et Dumas (J.). — Atténuation ultrasonore critique dans Gd ₂ (MoO ₄) ₃ Cyrot-Lackmann (F.). — Voir Desjonquères (MC.) Defourneau (D.). — Voir Léger (A.) De Groot (R.). — Voir Sommers (C.). Desjonquères (MC.) and Cyrot-Lackmann (F.). — d Surface states in transition metals. Destrade (C.) et Gasparoux (H.). — Etude de la structure	L-55 L-45 L-30 L-157
of the 2p levels of ²¹ Ne using a CW tunable dye laser Grynberg (G.). — Voir Biraben (F.). Jannink (G.). — Voir Farnoux (B.). Jaegle (A.). — Voir Duguet (A.). Keller (JC.). — Voir Champeau (RJ.). Labarthe (JJ.). — Voir Bauche-Arnoult (C.). Lallemand (P.). — Voir Cazabat (AM.). Lennuier (R.). — Voir Bousquet (C.). Ober (R.). — Voir Farnoux (B.). Pottier (L.). — Voir Bouchiat (MA.). Schneider (WB.). — Voir Gay (JC.).	L-41 L-35 L-193 L-161 L-285 L-29 L-233 L-35 L-189 L-185	pressure Courdille (JM.) et Dumas (J.). — Atténuation ultrasonore critique dans Gd ₂ (MoO ₄) ₃ Cyrot-Lackmann (F.). — Voir Desjonquères (MC.). Defourneau (D.). — Voir Léger (A.). De Groot (R.). — Voir Sommers (C.). Desjonquères (MC.) and Cyrot-Lackmann (F.). — d Surface states in transition metals. Destrade (C.) et Gasparoux (H.). — Etude de la structure des chaînes dans les différentes phases solide, néma-	L-55 L-45 L-30 L-157
of the 2p levels of ²¹ Ne using a CW tunable dye laser. Grynberg (G.). — Voir Biraben (F.). Jannink (G.). — Voir Farnoux (B.). Jaegle (A.). — Voir Duguet (A.). Keller (JC.). — Voir Champeau (RJ.). Labarthe (JJ.). — Voir Bauche-Arnoult (C.). Lallemand (P.). — Voir Cazabat (AM.). Lennuier (R.). — Voir Bousquet (C.). Ober (R.). — Voir Farnoux (B.). Pottier (L.). — Voir Bouchiat (MA.). Schneider (WB.). — Voir Gay (JC.). Vanier (J.). — Voir Desaintfuscien (M.).	L-41 L-35 L-193 L-161 L-285 L-29 L-233 L-35 L-189	pressure Courdille (JM.) et Dumas (J.). — Atténuation ultrasonore critique dans Gd ₂ (MoO ₄) ₃ Cyrot-Lackmann (F.). — Voir Desjonquères (MC.) Defourneau (D.). — Voir Léger (A.) De Groot (R.). — Voir Sommers (C.). Desjonquères (MC.) and Cyrot-Lackmann (F.). — d Surface states in transition metals. Destrade (C.) et Gasparoux (H.). — Etude de la structure des chaînes dans les différentes phases solide, nématique ou liquide, du méthoxybenzilidènebutylaniline	L-5 L-45 L-30 L-157
of the 2p levels of ²¹ Ne using a CW tunable dye laser Grynberg (G.). — Voir Biraben (F.). Jannink (G.). — Voir Farnoux (B.). Jaegle (A.). — Voir Duguet (A.). Keller (JC.). — Voir Champeau (RJ.). Labarthe (JJ.). — Voir Bauche-Arnoult (C.). Lallemand (P.). — Voir Cazabat (AM.). Lennuier (R.). — Voir Bousquet (C.). Ober (R.). — Voir Farnoux (B.). Pottier (L.). — Voir Bouchiat (MA.). Schneider (WB.). — Voir Gay (JC.).	L-41 L-35 L-193 L-161 L-285 L-29 L-233 L-35 L-189 L-185	pressure Courdille (JM.) et Dumas (J.). — Atténuation ultrasonore critique dans Gd ₂ (MoO ₄) ₃ . Cyrot-Lackmann (F.). — Voir Desjonquères (MC.). Defourneau (D.). — Voir Léger (A.). De Groot (R.). — Voir Sommers (C.). Desjonquères (MC.) and Cyrot-Lackmann (F.). — d Surface states in transition metals. Destrade (C.) et Gasparoux (H.). — Etude de la structure des chaînes dans les différentes phases solide, nématique ou liquide, du méthoxybenzilidènebutylaniline (MBBA).	L-55 L-45 L-30 L-157
of the 2p levels of ²¹ Ne using a CW tunable dye laser. Grynberg (G.). — Voir Biraben (F.). Jannink (G.). — Voir Farnoux (B.). Jaegle (A.). — Voir Duguet (A.). Keller (JC.). — Voir Champeau (RJ.). Labarthe (JJ.). — Voir Bauche-Arnoult (C.). Lallemand (P.). — Voir Cazabat (AM.). Lennuier (R.). — Voir Bousquet (C.). Ober (R.). — Voir Farnoux (B.). Pottier (L.). — Voir Bouchiat (MA.). Schneider (WB.). — Voir Gay (JC.). Vanier (J.). — Voir Desaintfuscien (M.).	L-41 L-35 L-193 L-161 L-285 L-29 L-233 L-35 L-189 L-185 L-281	pressure Courdille (JM.) et Dumas (J.). — Atténuation ultrasonore critique dans Gd ₂ (MoO ₄) ₃ Cyrot-Lackmann (F.). — Voir Desjonquères (MC.) Defourneau (D.). — Voir Léger (A.) De Groot (R.). — Voir Sommers (C.). Desjonquères (MC.) and Cyrot-Lackmann (F.). — d Surface states in transition metals. Destrade (C.) et Gasparoux (H.). — Etude de la structure des chaînes dans les différentes phases solide, nématique ou liquide, du méthoxybenzilidènebutylaniline (MBBA). Dianoux (A. J.), Volino (F.), Heidemann (A.) et Hervet (H.).	L-5 L-45 L-30 L-157
of the 2p levels of ²¹ Ne using a CW tunable dye laser Grynberg (G.). — Voir Biraben (F.). Jannink (G.). — Voir Farnoux (B.). Jaegle (A.). — Voir Duguet (A.). Keller (JC.). — Voir Champeau (RJ.). Labarthe (JJ.). — Voir Bauche-Arnoult (C.). Lallemand (P.). — Voir Cazabat (AM.). Lennuier (R.). — Voir Bousquet (C.). Ober (R.). — Voir Farnoux (B.). Pottier (L.). — Voir Bouchiat (MA.). Schneider (WB.). — Voir Gay (JC.). Vanier (J.). — Voir Desaintfuscien (M.). Viennet (J.). — Voir Desaintfuscien (M.).	L-41 L-35 L-193 L-161 L-285 L-29 L-233 L-35 L-189 L-185 L-281	pressure Courdille (JM.) et Dumas (J.). — Atténuation ultrasonore critique dans Gd ₂ (MoO ₄) ₃ Cyrot-Lackmann (F.). — Voir Desjonquères (MC.) Defourneau (D.). — Voir Léger (A.) De Groot (R.). — Voir Sommers (C.). Desjonquères (MC.) and Cyrot-Lackmann (F.). — d Surface states in transition metals. Destrade (C.) et Gasparoux (H.). — Etude de la structure des chaînes dans les différentes phases solide, nématique ou liquide, du méthoxybenzilidènebutylaniline (MBBA). Dianoux (A. J.), Volino (F.), Heidemann (A.) et Hervet (H.). — Neutron quasielastic scattering study of translatio-	L-5 L-45 L-30 L-15 L-45
of the 2p levels of ²¹ Ne using a CW tunable dye laser. Grynberg (G.). — Voir Biraben (F.). Jannink (G.). — Voir Farnoux (B.). Jaegle (A.). — Voir Duguet (A.). Keller (JC.). — Voir Champeau (RJ.). Labarthe (JJ.). — Voir Bauche-Arnoult (C.). Lallemand (P.). — Voir Cazabat (AM.). Lennuier (R.). — Voir Bousquet (C.). Ober (R.). — Voir Farnoux (B.). Pottier (L.). — Voir Bouchiat (MA.). Schneider (WB.). — Voir Gay (JC.). Vanier (J.). — Voir Desaintfuscien (M.).	L-41 L-35 L-193 L-161 L-285 L-29 L-233 L-35 L-189 L-185 L-281	pressure Courdille (JM.) et Dumas (J.). — Atténuation ultrasonore critique dans Gd ₂ (MoO ₄) ₃ Cyrot-Lackmann (F.). — Voir Desjonquères (MC.) Defourneau (D.). — Voir Léger (A.) De Groot (R.). — Voir Sommers (C.). Desjonquères (MC.) and Cyrot-Lackmann (F.). — d Surface states in transition metals. Destrade (C.) et Gasparoux (H.). — Etude de la structure des chaînes dans les différentes phases solide, nématique ou liquide, du méthoxybenzilidènebutylaniline (MBBA). Dianoux (A. J.), Volino (F.), Heidemann (A.) et Hervet (H.). — Neutron quasielastic scattering study of translational motions in the smectic H, C and A phases of TBBA	L-5 L-45 L-30 L-15 L-45
of the 2p levels of ²¹ Ne using a CW tunable dye laser Grynberg (G.). — Voir Biraben (F.). Jannink (G.). — Voir Farnoux (B.). Jaegle (A.). — Voir Duguet (A.). Keller (JC.). — Voir Champeau (RJ.). Labarthe (JJ.). — Voir Bauche-Arnoult (C.). Lallemand (P.). — Voir Cazabat (AM.). Lennuier (R.). — Voir Bousquet (C.). Ober (R.). — Voir Farnoux (B.). Pottier (L.). — Voir Bouchiat (MA.). Schneider (WB.). — Voir Gay (JC.). Vanier (J.). — Voir Desaintfuscien (M.). Viennet (J.). — Voir Desaintfuscien (M.).	L-41 L-35 L-193 L-161 L-285 L-29 L-233 L-35 L-189 L-185 L-281 L-281	pressure Courdille (JM.) et Dumas (J.). — Atténuation ultrasonore critique dans Gd ₂ (MoO ₄) ₃ Cyrot-Lackmann (F.). — Voir Desjonquères (MC.). Defourneau (D.). — Voir Léger (A.). De Groot (R.). — Voir Sommers (C.). Desjonquères (MC.) and Cyrot-Lackmann (F.). — d Surface states in transition metals. Destrade (C.) et Gasparoux (H.). — Etude de la structure des chaînes dans les différentes phases solide, nématique ou liquide, du méthoxybenzilidènebutylaniline (MBBA). Dianoux (A. J.), Volino (F.), Heidemann (A.) et Hervet (H.). — Neutron quasielastic scattering study of translational motions in the smectic H, C and A phases of TBBA Dubois-Violette (E.) and Gennes de (PG.). — Local Fre-	L-5 L-45 L-30 L-15 L-45 L-10
of the 2p levels of ²¹ Ne using a CW tunable dye laser. Grynberg (G.). — Voir Biraben (F.). Jannink (G.). — Voir Farnoux (B.). Jaegle (A.). — Voir Duguet (A.). Keller (JC.). — Voir Champeau (RJ.). Labarthe (JJ.). — Voir Bauche-Arnoult (C.). Lallemand (P.). — Voir Cazabat (AM.). Lennuier (R.). — Voir Bousquet (C.). Ober (R.). — Voir Farnoux (B.). Pottier (L.). — Voir Bouchiat (MA.). Schneider (WB.). — Voir Gay (JC.). Vanier (J.). — Voir Desaintfuscien (M.). PHYSIQUE DES PLASMAS Carillon (A.). — Voir Jamelot (G.).	L-41 L-35 L-193 L-161 L-285 L-29 L-233 L-35 L-189 L-185 L-281 L-281	pressure Courdille (JM.) et Dumas (J.). — Atténuation ultrasonore critique dans Gd ₂ (MoO ₄) ₃ Cyrot-Lackmann (F.). — Voir Desjonquères (MC.) Defourneau (D.). — Voir Léger (A.) De Groot (R.). — Voir Sommers (C.). Desjonquères (MC.) and Cyrot-Lackmann (F.). — d Surface states in transition metals. Destrade (C.) et Gasparoux (H.). — Etude de la structure des chaînes dans les différentes phases solide, nématique ou liquide, du méthoxybenzilidènebutylaniline (MBBA). Dianoux (A. J.), Volino (F.), Heidemann (A.) et Hervet (H.). — Neutron quasielastic scattering study of translational motions in the smectic H, C and A phases of TBBA Dubois-Violette (E.) and Gennes de (PG.). — Local Frederiks transitions near a solid/nematic interface	L-5 L-45 L-30 L-15 L-45
of the 2p levels of ²¹ Ne using a CW tunable dye laser. Grynberg (G.). — Voir Biraben (F.). Jannink (G.). — Voir Farnoux (B.). Jaegle (A.). — Voir Duguet (A.). Keller (JC.). — Voir Champeau (RJ.). Labarthe (JJ.). — Voir Bauche-Arnoult (C.). Lallemand (P.). — Voir Cazabat (AM.). Lennuier (R.). — Voir Bousquet (C.). Ober (R.). — Voir Farnoux (B.). Pottier (L.). — Voir Bouchiat (MA.). Schneider (WB.). — Voir Gay (JC.). Vanier (J.). — Voir Desaintfuscien (M.). PHYSIQUE DES PLASMAS Carillon (A.). — Voir Jamelot (G.). Jaegle (P.). — Voir Jamelot (G.).	L-41 L-35 L-193 L-161 L-285 L-29 L-233 L-35 L-189 L-185 L-281 L-281	pressure Courdille (JM.) et Dumas (J.). — Atténuation ultrasonore critique dans Gd ₂ (MoO ₄) ₃ Cyrot-Lackmann (F.). — Voir Desjonquères (MC.). Defourneau (D.). — Voir Léger (A.). De Groot (R.). — Voir Sommers (C.). Desjonquères (MC.) and Cyrot-Lackmann (F.). — d Surface states in transition metals. Destrade (C.) et Gasparoux (H.). — Etude de la structure des chaînes dans les différentes phases solide, nématique ou liquide, du méthoxybenzilidènebutylaniline (MBBA). Dianoux (A. J.), Volino (F.), Heidemann (A.) et Hervet (H.). — Neutron quasielastic scattering study of translational motions in the smectic H, C and A phases of TBBA Dubois-Violette (E.) and Gennes de (PG.). — Local Fre-	L-5 L-45 L-30 L-15 L-45 L-10
of the 2p levels of ²¹ Ne using a CW tunable dye laser Grynberg (G.). — Voir Biraben (F.). Jannink (G.). — Voir Farnoux (B.). Jaegle (A.). — Voir Duguet (A.). Keller (JC.). — Voir Champeau (RJ.). Labarthe (JJ.). — Voir Bauche-Arnoult (C.). Lallemand (P.). — Voir Cazabat (AM.). Lennuier (R.). — Voir Bousquet (C.). Ober (R.). — Voir Farnoux (B.). Pottier (L.). — Voir Bouchiat (MA.). Schneider (WB.). — Voir Gay (JC.). Vanier (J.). — Voir Desaintfuscien (M.). PHYSIQUE DES PLASMAS Carillon (A.). — Voir Jamelot (G.). Jaegle (P.). — Voir Jamelot (G.). Jamelot (G.), Carillon (A.), Jaegle (P.) et Sureau (A.). —	L-41 L-35 L-193 L-161 L-285 L-29 L-233 L-35 L-189 L-185 L-281 L-281	pressure Courdille (JM.) et Dumas (J.). — Atténuation ultrasonore critique dans Gd ₂ (MoO ₄) ₃ Cyrot-Lackmann (F.). — Voir Desjonquères (MC.) Defourneau (D.). — Voir Léger (A.) De Groot (R.). — Voir Sommers (C.). Desjonquères (MC.) and Cyrot-Lackmann (F.). — d Surface states in transition metals. Destrade (C.) et Gasparoux (H.). — Etude de la structure des chaînes dans les différentes phases solide, nématique ou liquide, du méthoxybenzilidènebutylaniline (MBBA). Dianoux (A. J.), Volino (F.), Heidemann (A.) et Hervet (H.). — Neutron quasielastic scattering study of translational motions in the smectic H, C and A phases of TBBA Dubois-Violette (E.) and Gennes de (PG.). — Local Frederiks transitions near a solid/nematic interface	L-5 L-45 L-30 L-15 L-45 L-27
of the 2p levels of ²¹ Ne using a CW tunable dye laser Grynberg (G.). — Voir Biraben (F.). Jannink (G.). — Voir Farnoux (B.). Jaegle (A.). — Voir Duguet (A.). Keller (JC.). — Voir Champeau (RJ.). Labarthe (JJ.). — Voir Bauche-Arnoult (C.). Lallemand (P.). — Voir Cazabat (AM.). Lennuier (R.). — Voir Bousquet (C.). Ober (R.). — Voir Farnoux (B.). Pottier (L.). — Voir Bouchiat (MA.). Schneider (WB.). — Voir Gay (JC.). Vanier (J.). — Voir Desaintfuscien (M.). Viennet (J.). — Voir Desaintfuscien (M.). PHYSIQUE DES PLASMAS Carillon (A.). — Voir Jamelot (G.). Jaegle (P.). — Voir Jamelot (G.). Jamelot (G.), Carillon (A.), Jaegle (P.) et Sureau (A.). — On the interpretation of intensity anomalies in dense	L-41 L-35 L-193 L-161 L-285 L-29 L-233 L-35 L-189 L-185 L-281 L-281	pressure Courdille (JM.) et Dumas (J.). — Atténuation ultrasonore critique dans Gd ₂ (MoO ₄) ₃ Cyrot-Lackmann (F.). — Voir Desjonquères (MC.). Defourneau (D.). — Voir Léger (A.). De Groot (R.). — Voir Sommers (C.). Desjonquères (MC.) and Cyrot-Lackmann (F.). — d Surface states in transition metals. Destrade (C.) et Gasparoux (H.). — Etude de la structure des chaînes dans les différentes phases solide, nématique ou liquide, du méthoxybenzilidènebutylaniline (MBBA). Dianoux (A. J.), Volino (F.), Heidemann (A.) et Hervet (H.). — Neutron quasielastic scattering study of translational motions in the smectic H, C and A phases of TBBA Dubois-Violette (E.) and Gennes de (PG.). — Local Frederiks transitions near a solid/nematic interface. Dumas (J.). — Voir Courdille (JM.). Duval (E.). — Voir Ben Ghorbal (M.).	L-5 L-45 L-30 L-15 L-4 L-10 L-27 L-25 L-5
of the 2p levels of ²¹ Ne using a CW tunable dye laser Grynberg (G.). — Voir Biraben (F.). Jannink (G.). — Voir Farnoux (B.). Jaegle (A.). — Voir Duguet (A.). Keller (JC.). — Voir Champeau (RJ.). Labarthe (JJ.). — Voir Bauche-Arnoult (C.). Lallemand (P.). — Voir Cazabat (AM.). Lennuier (R.). — Voir Bousquet (C.). Ober (R.). — Voir Farnoux (B.). Pottier (L.). — Voir Bouchiat (MA.). Schneider (WB.). — Voir Gay (JC.). Vanier (J.). — Voir Desaintfuscien (M.). PHYSIQUE DES PLASMAS Carillon (A.). — Voir Jamelot (G.). Jaegle (P.). — Voir Jamelot (G.). Jamelot (G.), Carillon (A.), Jaegle (P.) et Sureau (A.). — On the interpretation of intensity anomalies in dense aluminium plasmas	L-41 L-35 L-193 L-161 L-285 L-29 L-233 L-35 L-189 L-185 L-281 L-281	pressure Courdille (JM.) et Dumas (J.). — Atténuation ultrasonore critique dans Gd ₂ (MoO ₄) ₃ Cyrot-Lackmann (F.). — Voir Desjonquères (MC.) Defourneau (D.). — Voir Léger (A.) De Groot (R.). — Voir Sommers (C.). Desjonquères (MC.) and Cyrot-Lackmann (F.). — d Surface states in transition metals. Destrade (C.) et Gasparoux (H.). — Etude de la structure des chaînes dans les différentes phases solide, nématique ou liquide, du méthoxybenzilidènebutylaniline (MBBA). Dianoux (A. J.), Volino (F.), Heidemann (A.) et Hervet (H.). — Neutron quasielastic scattering study of translational motions in the smectic H, C and A phases of TBBA Dubois-Violette (E.) and Gennes de (PG.). — Local Frederiks transitions near a solid/nematic interface Dumas (J.). — Voir Courdille (JM.).	L-5 L-45 L-30 L-15 L-4 L-10 L-27 L-25 L-5 L-10
of the 2p levels of ²¹ Ne using a CW tunable dye laser Grynberg (G.). — Voir Biraben (F.). Jannink (G.). — Voir Farnoux (B.). Jaegle (A.). — Voir Duguet (A.). Keller (JC.). — Voir Champeau (RJ.). Labarthe (JJ.). — Voir Bauche-Arnoult (C.). Lallemand (P.). — Voir Cazabat (AM.). Lennuier (R.). — Voir Bousquet (C.). Ober (R.). — Voir Farnoux (B.). Pottier (L.). — Voir Bouchiat (MA.). Schneider (WB.). — Voir Gay (JC.). Vanier (J.). — Voir Desaintfuscien (M.). Viennet (J.). — Voir Desaintfuscien (M.). PHYSIQUE DES PLASMAS Carillon (A.). — Voir Jamelot (G.). Jaegle (P.). — Voir Jamelot (G.). Jamelot (G.), Carillon (A.), Jaegle (P.) et Sureau (A.). — On the interpretation of intensity anomalies in dense	L-41 L-35 L-193 L-161 L-285 L-29 L-233 L-35 L-189 L-185 L-281 L-281	pressure Courdille (JM.) et Dumas (J.). — Atténuation ultrasonore critique dans Gd ₂ (MoO ₄) ₃ Cyrot-Lackmann (F.). — Voir Desjonquères (MC.). Defourneau (D.). — Voir Léger (A.). De Groot (R.). — Voir Sommers (C.). Desjonquères (MC.) and Cyrot-Lackmann (F.). — d Surface states in transition metals. Destrade (C.) et Gasparoux (H.). — Etude de la structure des chaînes dans les différentes phases solide, nématique ou liquide, du méthoxybenzilidènebutylaniline (MBBA). Dianoux (A. J.), Volino (F.), Heidemann (A.) et Hervet (H.). — Neutron quasielastic scattering study of translational motions in the smectic H, C and A phases of TBBA Dubois-Violette (E.) and Gennes de (PG.). — Local Frederiks transitions near a solid/nematic interface. Dumas (J.). — Voir Courdille (JM.). Duval (E.). — Voir Ben Ghorbal (M.). Etemad (S.). — Voir Cooper (JR.). Friedel (J.). — On the pressure dependence of superconduc-	L-5 L-45 L-30 L-15 L-4 L-10 L-27 L-25 L-10 L-219
of the 2p levels of ²¹ Ne using a CW tunable dye laser Grynberg (G.). — Voir Biraben (F.). Jannink (G.). — Voir Farnoux (B.). Jaegle (A.). — Voir Duguet (A.). Keller (JC.). — Voir Champeau (RJ.). Labarthe (JJ.). — Voir Bauche-Arnoult (C.). Lallemand (P.). — Voir Cazabat (AM.). Lennuier (R.). — Voir Bousquet (C.). Ober (R.). — Voir Farnoux (B.). Pottier (L.). — Voir Bouchiat (MA.). Schneider (WB.). — Voir Gay (JC.). Vanier (J.). — Voir Desaintfuscien (M.). PHYSIQUE DES PLASMAS Carillon (A.). — Voir Jamelot (G.). Jaegle (P.). — Voir Jamelot (G.). Jamelot (G.), Carillon (A.), Jaegle (P.) et Sureau (A.). — On the interpretation of intensity anomalies in dense aluminium plasmas	L-41 L-35 L-193 L-161 L-285 L-29 L-233 L-35 L-189 L-185 L-281 L-281	pressure Courdille (JM.) et Dumas (J.). — Atténuation ultrasonore critique dans Gd ₂ (MoO ₄) ₃ Cyrot-Lackmann (F.). — Voir Desjonquères (MC.). Defourneau (D.). — Voir Léger (A.). De Groot (R.). — Voir Sommers (C.). Desjonquères (MC.) and Cyrot-Lackmann (F.). — d Surface states in transition metals. Destrade (C.) et Gasparoux (H.). — Etude de la structure des chaînes dans les différentes phases solide, nématique ou liquide, du méthoxybenzilidènebutylaniline (MBBA). Dianoux (A. J.), Volino (F.), Heidemann (A.) et Hervet (H.). — Neutron quasielastic scattering study of translational motions in the smectic H, C and A phases of TBBA Dubois-Violette (E.) and Gennes de (PG.). — Local Frederiks transitions near a solid/nematic interface. Dumas (J.). — Voir Courdille (JM.). Duval (E.). — Voir Ben Ghorbal (M.). Etemad (S.). — Voir Cooper (JR.). Friedel (J.). — On the pressure dependence of superconductivity in transition metal dichalcogenide layer crystals.	L-5 L-45 L-30 L-15 L-4 L-10 L-27 L-25 L-10 L-219 L-279
of the 2p levels of ²¹ Ne using a CW tunable dye laser Grynberg (G.). — Voir Biraben (F.). Jannink (G.). — Voir Farnoux (B.). Jaegle (A.). — Voir Duguet (A.). Keller (JC.). — Voir Champeau (RJ.). Labarthe (JJ.). — Voir Bauche-Arnoult (C.). Lallemand (P.). — Voir Cazabat (AM.). Lennuier (R.). — Voir Bousquet (C.). Ober (R.). — Voir Farnoux (B.). Pottier (L.). — Voir Bouchiat (MA.). Schneider (WB.). — Voir Gay (JC.). Vanier (J.). — Voir Desaintfuscien (M.). PHYSIQUE DES PLASMAS Carillon (A.). — Voir Jamelot (G.). Jaegle (P.). — Voir Jamelot (G.). Jamelot (G.), Carillon (A.), Jaegle (P.) et Sureau (A.). — On the interpretation of intensity anomalies in dense aluminium plasmas Jolly (J.). — Mesure de la densité des ions métastables	L-41 L-35 L-193 L-161 L-285 L-29 L-233 L-35 L-189 L-185 L-281 L-281 L-293	pressure Courdille (JM.) et Dumas (J.). — Atténuation ultrasonore critique dans Gd ₂ (MoO ₄) ₃ Cyrot-Lackmann (F.). — Voir Desjonquères (MC.). Defourneau (D.). — Voir Léger (A.). De Groot (R.). — Voir Sommers (C.). Desjonquères (MC.) and Cyrot-Lackmann (F.). — d Surface states in transition metals. Destrade (C.) et Gasparoux (H.). — Etude de la structure des chaînes dans les différentes phases solide, nématique ou liquide, du méthoxybenzilidènebutylaniline (MBBA). Dianoux (A. J.), Volino (F.), Heidemann (A.) et Hervet (H.). — Neutron quasielastic scattering study of translational motions in the smectic H, C and A phases of TBBA Dubois-Violette (E.) and Gennes de (PG.). — Local Frederiks transitions near a solid/nematic interface. Dumas (J.). — Voir Courdille (JM.). Duval (E.). — Voir Ben Ghorbal (M.). Etemad (S.). — Voir Cooper (JR.). Friedel (J.). — On the pressure dependence of superconductivity in transition metal dichalcogenide layer crystals. Gasparoux (H.). — Voir Destrade (C.).	L-5 L-45 L-30 L-15 L-4 L-10 L-27 L-25 L-10 L-219
of the 2p levels of 21Ne using a CW tunable dye laser Grynberg (G.). — Voir Biraben (F.). Jannink (G.). — Voir Farnoux (B.). Jaegle (A.). — Voir Duguet (A.). Keller (JC.). — Voir Champeau (RJ.). Labarthe (JJ.). — Voir Bauche-Arnoult (C.). Lallemand (P.). — Voir Bousquet (C.). Ober (R.). — Voir Bousquet (C.). Ober (R.). — Voir Bouchiat (MA.). Schneider (WB.). — Voir Gay (JC.). Vanier (J.). — Voir Desaintfuscien (M.). PHYSIQUE DES PLASMAS Carillon (A.). — Voir Jamelot (G.). Jaegle (P.). — Voir Jamelot (G.). Jamelot (G.), Carillon (A.), Jaegle (P.) et Sureau (A.). — On the interpretation of intensity anomalies in dense aluminium plasmas Jolly (J.). — Mesure de la densité des ions métastables d'argon dans un plasma fortement ionisé. Mendonça (JT.) et Zanfagna (B.). — Diffusion incohé-	L-41 L-35 L-193 L-161 L-285 L-29 L-233 L-35 L-189 L-185 L-281 L-281 L-293	pressure Courdille (JM.) et Dumas (J.). — Atténuation ultrasonore critique dans Gd ₂ (MoO ₄) ₃ Cyrot-Lackmann (F.). — Voir Desjonquères (MC.). Defourneau (D.). — Voir Léger (A.). De Groot (R.). — Voir Sommers (C.). Desjonquères (MC.) and Cyrot-Lackmann (F.). — d Surface states in transition metals. Destrade (C.) et Gasparoux (H.). — Etude de la structure des chaînes dans les différentes phases solide, nématique ou liquide, du méthoxybenzilidènebutylaniline (MBBA). Dianoux (A. J.), Volino (F.), Heidemann (A.) et Hervet (H.). — Neutron quasielastic scattering study of translational motions in the smectic H, C and A phases of TBBA Dubois-Violette (E.) and Gennes de (PG.). — Local Frederiks transitions near a solid/nematic interface. Dumas (J.). — Voir Courdille (JM.). Duval (E.). — Voir Ben Ghorbal (M.). Etemad (S.). — Voir Cooper (JR.). Friedel (J.). — On the pressure dependence of superconductivity in transition metal dichalcogenide layer crystals. Gasparoux (H.). — Voir Destrade (C.). Gasser (JG.) and Kleim (R.). — Electrical resistivity of	L-5 L-45 L-30 L-15 L-4 L-10 L-27 L-25 L-10 L-219 L-279
of the 2p levels of 21Ne using a CW tunable dye laser Grynberg (G.). — Voir Biraben (F.). Jannink (G.). — Voir Farnoux (B.). Jaegle (A.). — Voir Duguet (A.). Keller (JC.). — Voir Champeau (RJ.). Labarthe (JJ.). — Voir Bauche-Arnoult (C.). Lallemand (P.). — Voir Bousquet (C.). Ober (R.). — Voir Bousquet (C.). Ober (R.). — Voir Bouchiat (MA.). Schneider (WB.). — Voir Gay (JC.). Vanier (J.). — Voir Desaintfuscien (M.). PHYSIQUE DES PLASMAS Carillon (A.). — Voir Jamelot (G.). Jamelot (G.). — Voir Jamelot (G.). Jamelot (G.), Carillon (A.), Jaegle (P.) et Sureau (A.). — On the interpretation of intensity anomalies in dense aluminium plasmas Jolly (J.). — Mesure de la densité des ions métastables d'argon dans un plasma fortement ionisé. Mendonça (JT.) et Zanfagna (B.). — Diffusion incohérente d'une onde électromagnétique à la fréquence	L-41 L-35 L-193 L-161 L-285 L-29 L-233 L-35 L-189 L-185 L-281 L-281 L-293 L-293	pressure Courdille (JM.) et Dumas (J.). — Atténuation ultrasonore critique dans Gd ₂ (MoO ₄) ₃ Cyrot-Lackmann (F.). — Voir Desjonquères (MC.). Defourneau (D.). — Voir Léger (A.). De Groot (R.). — Voir Sommers (C.). Desjonquères (MC.) and Cyrot-Lackmann (F.). — d Surface states in transition metals. Destrade (C.) et Gasparoux (H.). — Etude de la structure des chaînes dans les différentes phases solide, nématique ou liquide, du méthoxybenzilidènebutylaniline (MBBA). Dianoux (A. J.), Volino (F.), Heidemann (A.) et Hervet (H.). — Neutron quasielastic scattering study of translational motions in the smectic H, C and A phases of TBBA Dubois-Violette (E.) and Gennes de (PG.). — Local Frederiks transitions near a solid/nematic interface. Dumas (J.). — Voir Courdille (JM.). Duval (E.). — Voir Ben Ghorbal (M.). Etemad (S.). — Voir Cooper (JR.). Friedel (J.). — On the pressure dependence of superconductivity in transition metal dichalcogenide layer crystals. Gasparoux (H.). — Voir Destrade (C.). Gasser (JG.) and Kleim (R.). — Electrical resistivity of some liquid cadmium antimony alloys as a function	L-5 L-45 L-10 L-10 L-27 L-219 L-279 L-103
of the 2p levels of 21Ne using a CW tunable dye laser Grynberg (G.). — Voir Biraben (F.). Jannink (G.). — Voir Farnoux (B.). Jaegle (A.). — Voir Duguet (A.). Keller (JC.). — Voir Champeau (RJ.). Labarthe (JJ.). — Voir Bauche-Arnoult (C.). Lallemand (P.). — Voir Bousquet (C.). Ober (R.). — Voir Bousquet (C.). Ober (R.). — Voir Farnoux (B.). Pottier (L.). — Voir Bouchiat (MA.). Schneider (WB.). — Voir Gay (JC.). Vanier (J.). — Voir Desaintfuscien (M.). PHYSIQUE DES PLASMAS Carillon (A.). — Voir Jamelot (G.). Jaegle (P.). — Voir Jamelot (G.). Jamelot (G.), Carillon (A.), Jaegle (P.) et Sureau (A.). — On the interpretation of intensity anomalies in dense aluminium plasmas Jolly (J.). — Mesure de la densité des ions métastables d'argon dans un plasma fortement ionisé. Mendonça (JT.) et Zanfagna (B.). — Diffusion incohérente d'une onde électromagnétique à la fréquence hybride supérieure	L-41 L-35 L-193 L-161 L-285 L-29 L-233 L-35 L-189 L-185 L-281 L-281 L-293 L-293 L-293	pressure Courdille (JM.) et Dumas (J.). — Atténuation ultrasonore critique dans Gd ₂ (MoO ₄) ₃ Cyrot-Lackmann (F.). — Voir Desjonquères (MC.). Defourneau (D.). — Voir Léger (A.). De Groot (R.). — Voir Sommers (C.). Desjonquères (MC.) and Cyrot-Lackmann (F.). — d Surface states in transition metals. Destrade (C.) et Gasparoux (H.). — Etude de la structure des chaînes dans les différentes phases solide, nématique ou liquide, du méthoxybenzilidènebutylaniline (MBBA). Dianoux (A. J.), Volino (F.), Heidemann (A.) et Hervet (H.). — Neutron quasielastic scattering study of translational motions in the smectic H, C and A phases of TBBA Dubois-Violette (E.) and Gennes de (PG.). — Local Frederiks transitions near a solid/nematic interface. Dumas (J.). — Voir Courdille (JM.). Duval (E.). — Voir Ben Ghorbal (M.). Etemad (S.). — Voir Cooper (JR.). Friedel (J.). — On the pressure dependence of superconductivity in transition metal dichalcogenide layer crystals. Gasparoux (H.). — Voir Destrade (C.). Gasser (JG.) and Kleim (R.). — Electrical resistivity of some liquid cadmium antimony alloys as a function of temperature	L-5 L-45 L-10 L-10 L-27 L-219 L-219 L-103 L-93
of the 2p levels of 21Ne using a CW tunable dye laser Grynberg (G.). — Voir Biraben (F.). Jannink (G.). — Voir Farnoux (B.). Jaegle (A.). — Voir Duguet (A.). Keller (JC.). — Voir Champeau (RJ.). Labarthe (JJ.). — Voir Bauche-Arnoult (C.). Lallemand (P.). — Voir Bousquet (C.). Ober (R.). — Voir Bousquet (C.). Ober (R.). — Voir Bouchiat (MA.). Schneider (WB.). — Voir Gay (JC.). Vanier (J.). — Voir Desaintfuscien (M.). Viennet (J.). — Voir Jamelot (G.). Jamelot (G.). — Voir Jamelot (G.). Jamelot (G.), Carillon (A.), Jaegle (P.) et Sureau (A.). — On the interpretation of intensity anomalies in dense aluminium plasmas Jolly (J.). — Mesure de la densité des ions métastables d'argon dans un plasma fortement ionisé. Mendonça (JT.) et Zanfagna (B.). — Diffusion incohérente d'une onde électromagnétique à la fréquence hybride supérieure Sureau (A.). — Voir Jamelot (G.).	L-41 L-35 L-193 L-161 L-285 L-29 L-233 L-35 L-189 L-185 L-281 L-281 L-293 L-293 L-293 L-293	pressure Courdille (JM.) et Dumas (J.). — Atténuation ultrasonore critique dans Gd ₂ (MoO ₄) ₃ Cyrot-Lackmann (F.). — Voir Desjonquères (MC.). Defourneau (D.). — Voir Léger (A.). De Groot (R.). — Voir Sommers (C.). Desjonquères (MC.) and Cyrot-Lackmann (F.). — d Surface states in transition metals. Destrade (C.) et Gasparoux (H.). — Etude de la structure des chaînes dans les différentes phases solide, nématique ou liquide, du méthoxybenzilidènebutylaniline (MBBA). Dianoux (A. J.), Volino (F.), Heidemann (A.) et Hervet (H.). — Neutron quasielastic scattering study of translational motions in the smectic H, C and A phases of TBBA Dubois-Violette (E.) and Gennes de (PG.). — Local Frederiks transitions near a solid/nematic interface. Dumas (J.). — Voir Courdille (JM.). Duval (E.). — Voir Cooper (JR.). Friedel (J.). — On the pressure dependence of superconductivity in transition metal dichalcogenide layer crystals. Gasparoux (H.). — Voir Destrade (C.). Gasser (JG.) and Kleim (R.). — Electrical resistivity of some liquid cadmium antimony alloys as a function of temperature. Gennes de (PG.). — Voir Dubois-Violette (E.).	L-5 L-45 L-10 L-10 L-27 L-27 L-219 L-279 L-103 L-255
of the 2p levels of 21Ne using a CW tunable dye laser Grynberg (G.). — Voir Biraben (F.). Jannink (G.). — Voir Farnoux (B.). Jaegle (A.). — Voir Duguet (A.). Keller (JC.). — Voir Champeau (RJ.). Labarthe (JJ.). — Voir Bauche-Arnoult (C.). Lallemand (P.). — Voir Bousquet (C.). Ober (R.). — Voir Bousquet (C.). Ober (R.). — Voir Farnoux (B.). Pottier (L.). — Voir Bouchiat (MA.). Schneider (WB.). — Voir Gay (JC.). Vanier (J.). — Voir Desaintfuscien (M.). PHYSIQUE DES PLASMAS Carillon (A.). — Voir Jamelot (G.). Jaegle (P.). — Voir Jamelot (G.). Jamelot (G.), Carillon (A.), Jaegle (P.) et Sureau (A.). — On the interpretation of intensity anomalies in dense aluminium plasmas Jolly (J.). — Mesure de la densité des ions métastables d'argon dans un plasma fortement ionisé. Mendonça (JT.) et Zanfagna (B.). — Diffusion incohérente d'une onde électromagnétique à la fréquence hybride supérieure	L-41 L-35 L-193 L-161 L-285 L-29 L-233 L-35 L-189 L-185 L-281 L-281 L-293 L-293 L-293	Courdille (JM.) et Dumas (J.). — Atténuation ultrasonore critique dans Gd ₂ (MoO ₄) ₃ Cyrot-Lackmann (F.). — Voir Desjonquères (MC.). Defourneau (D.). — Voir Léger (A.). De Groot (R.). — Voir Sommers (C.). Desjonquères (MC.) and Cyrot-Lackmann (F.). — d Surface states in transition metals. Destrade (C.) et Gasparoux (H.). — Etude de la structure des chaînes dans les différentes phases solide, nématique ou liquide, du méthoxybenzilidènebutylaniline (MBBA). Dianoux (A. J.), Volino (F.), Heidemann (A.) et Hervet (H.). — Neutron quasielastic scattering study of translational motions in the smectic H, C and A phases of TBBA Dubois-Violette (E.) and Gennes de (PG.). — Local Frederiks transitions near a solid/nematic interface. Dumas (J.). — Voir Courdille (JM.). Duval (E.). — Voir Gen Ghorbal (M.). Etemad (S.). — Voir Cooper (JR.). Friedel (J.). — On the pressure dependence of superconductivity in transition metal dichalcogenide layer crystals. Gasparoux (H.). — Voir Destrade (C.). Gasser (JG.) and Kleim (R.). — Electrical resistivity of some liquid cadmium antimony alloys as a function of temperature. Gennes de (PG.). — Voir Dubois-Violette (E.). Gesland (JY.). — Voir Rousseau (M.).	L-5 L-45 L-10 L-10 L-27 L-219 L-219 L-103 L-93
of the 2p levels of 21Ne using a CW tunable dye laser Grynberg (G.). — Voir Biraben (F.). Jannink (G.). — Voir Farnoux (B.). Jaegle (A.). — Voir Duguet (A.). Keller (JC.). — Voir Champeau (RJ.). Labarthe (JJ.). — Voir Bauche-Arnoult (C.). Lallemand (P.). — Voir Bousquet (C.). Ober (R.). — Voir Bousquet (C.). Ober (R.). — Voir Bouchiat (MA.). Schneider (WB.). — Voir Gay (JC.). Vanier (J.). — Voir Desaintfuscien (M.). Viennet (J.). — Voir Desaintfuscien (M.). PHYSIQUE DES PLASMAS Carillon (A.). — Voir Jamelot (G.). Jamelot (G.), Carillon (A.), Jaegle (P.) et Sureau (A.). — On the interpretation of intensity anomalies in dense aluminium plasmas Jolly (J.). — Mesure de la densité des ions métastables d'argon dans un plasma fortement ionisé. Mendonça (JT.) et Zanfagna (B.). — Diffusion incohérente d'une onde électromagnétique à la fréquence hybride supérieure Sureau (A.). — Voir Jamelot (G.). Zanfagna (B.). — Voir Mendonça (JT.).	L-41 L-35 L-193 L-161 L-285 L-29 L-233 L-35 L-189 L-185 L-281 L-281 L-293 L-293 L-293 L-293	Courdille (JM.) et Dumas (J.). — Atténuation ultrasonore critique dans Gd ₂ (MoO ₄) ₃ Cyrot-Lackmann (F.). — Voir Desjonquères (MC.). Defourneau (D.). — Voir Léger (A.). De Groot (R.). — Voir Sommers (C.). Desjonquères (MC.) and Cyrot-Lackmann (F.). — d Surface states in transition metals. Destrade (C.) et Gasparoux (H.). — Etude de la structure des chaînes dans les différentes phases solide, nématique ou liquide, du méthoxybenzilidènebutylaniline (MBBA). Dianoux (A. J.), Volino (F.), Heidemann (A.) et Hervet (H.). — Neutron quasielastic scattering study of translational motions in the smectic H, C and A phases of TBBA Dubois-Violette (E.) and Gennes de (PG.). — Local Frederiks transitions near a solid/nematic interface. Dumas (J.). — Voir Courdille (JM.). Duval (E.). — Voir Ben Ghorbal (M.). Etemad (S.). — Voir Cooper (JR.). Friedel (J.). — On the pressure dependence of superconductivity in transition metal dichalcogenide layer crystals. Gasparoux (H.). — Voir Destrade (C.). Gasser (JG.) and Kleim (R.). — Electrical resistivity of some liquid cadmium antimony alloys as a function of temperature Gennes de (PG.). — Voir Rousseau (M.). Goscianski (M.), Léger (L.) and Mircea-Roussel (A.). —	L-5 L-45 L-15 L-15 L-15 L-10 L-27 L-27 L-219 L-279 L-105 L-219
of the 2p levels of 21Ne using a CW tunable dye laser Grynberg (G.). — Voir Biraben (F.). Jannink (G.). — Voir Farnoux (B.). Jaegle (A.). — Voir Duguet (A.). Keller (JC.). — Voir Champeau (RJ.). Labarthe (JJ.). — Voir Bauche-Arnoult (C.). Lallemand (P.). — Voir Bousquet (C.). Ober (R.). — Voir Bousquet (C.). Ober (R.). — Voir Bouchiat (MA.). Schneider (WB.). — Voir Gay (JC.). Vanier (J.). — Voir Desaintfuscien (M.). Viennet (J.). — Voir Jamelot (G.). Jamelot (G.). — Voir Jamelot (G.). Jamelot (G.), Carillon (A.), Jaegle (P.) et Sureau (A.). — On the interpretation of intensity anomalies in dense aluminium plasmas Jolly (J.). — Mesure de la densité des ions métastables d'argon dans un plasma fortement ionisé. Mendonça (JT.) et Zanfagna (B.). — Diffusion incohérente d'une onde électromagnétique à la fréquence hybride supérieure Sureau (A.). — Voir Jamelot (G.).	L-41 L-35 L-193 L-161 L-285 L-29 L-233 L-35 L-189 L-185 L-281 L-281 L-293 L-293 L-293 L-293	Courdille (JM.) et Dumas (J.). — Atténuation ultrasonore critique dans Gd ₂ (MoO ₄) ₃ Cyrot-Lackmann (F.). — Voir Desjonquères (MC.). Defourneau (D.). — Voir Léger (A.). De Groot (R.). — Voir Sommers (C.). Desjonquères (MC.) and Cyrot-Lackmann (F.). — d Surface states in transition metals. Destrade (C.) et Gasparoux (H.). — Etude de la structure des chaînes dans les différentes phases solide, nématique ou liquide, du méthoxybenzilidènebutylaniline (MBBA). Dianoux (A. J.), Volino (F.), Heidemann (A.) et Hervet (H.). — Neutron quasielastic scattering study of translational motions in the smectic H, C and A phases of TBBA Dubois-Violette (E.) and Gennes de (PG.). — Local Frederiks transitions near a solid/nematic interface. Dumas (J.). — Voir Courdille (JM.). Duval (E.). — Voir Ben Ghorbal (M.). Etemad (S.). — Voir Cooper (JR.). Friedel (J.). — On the pressure dependence of superconductivity in transition metal dichalcogenide layer crystals. Gasparoux (H.). — Voir Destrade (C.). Gasser (JG.) and Kleim (R.). — Electrical resistivity of some liquid cadmium antimony alloys as a function of temperature Gennes de (PG.). — Voir Rousseau (M.). Goscianski (M.), Léger (L.) and Mircea-Roussel (A.). — Field induced transitions in smectic A phases.	L-5 L-45 L-15 L-15 L-10 L-27 L-27 L-27 L-10 L-219 L-275 L-105 L-25 L-121 L-215 L-121
of the 2p levels of 21Ne using a CW tunable dye laser Grynberg (G.). — Voir Biraben (F.). Jannink (G.). — Voir Farnoux (B.). Jaegle (A.). — Voir Duguet (A.). Keller (JC.). — Voir Champeau (RJ.). Labarthe (JJ.). — Voir Bauche-Arnoult (C.). Lallemand (P.). — Voir Bousquet (C.). Ober (R.). — Voir Bousquet (C.). Ober (R.). — Voir Farnoux (B.). Pottier (L.). — Voir Bouchiat (MA.). Schneider (WB.). — Voir Gay (JC.). Vanier (J.). — Voir Desaintfuscien (M.). Viennet (J.). — Voir Desaintfuscien (M.). PHYSIQUE DES PLASMAS Carillon (A.). — Voir Jamelot (G.). Jaegle (P.). — Voir Jamelot (G.). Jamelot (G.), Carillon (A.), Jaegle (P.) et Sureau (A.). — On the interpretation of intensity anomalies in dense aluminium plasmas Jolly (J.). — Mesure de la densité des ions métastables d'argon dans un plasma fortement ionisé. Mendonça (JT.) et Zanfagna (B.). — Diffusion incohérente d'une onde électromagnétique à la fréquence hybride supérieure Sureau (A.). — Voir Jamelot (G.). Zanfagna (B.). — Voir Mendonça (JT.).	L-41 L-35 L-193 L-161 L-285 L-29 L-233 L-35 L-189 L-185 L-281 L-281 L-293 L-293 L-293 L-293	Courdille (JM.) et Dumas (J.). — Atténuation ultrasonore critique dans Gd ₂ (MoO ₄) ₃ Cyrot-Lackmann (F.). — Voir Desjonquères (MC.). Defourneau (D.). — Voir Léger (A.). De Groot (R.). — Voir Sommers (C.). Desjonquères (MC.) and Cyrot-Lackmann (F.). — d Surface states in transition metals. Destrade (C.) et Gasparoux (H.). — Etude de la structure des chaînes dans les différentes phases solide, nématique ou liquide, du méthoxybenzilidènebutylaniline (MBBA). Dianoux (A. J.), Volino (F.), Heidemann (A.) et Hervet (H.). — Neutron quasielastic scattering study of translational motions in the smectic H, C and A phases of TBBA Dubois-Violette (E.) and Gennes de (PG.). — Local Frederiks transitions near a solid/nematic interface. Dumas (J.). — Voir Courdille (JM.). Duval (E.). — Voir Ben Ghorbal (M.). Etemad (S.). — Voir Cooper (JR.). Friedel (J.). — On the pressure dependence of superconductivity in transition metal dichalcogenide layer crystals. Gasparoux (H.). — Voir Destrade (C.). Gasser (JG.) and Kleim (R.). — Electrical resistivity of some liquid cadmium antimony alloys as a function of temperature. Gennes de (PG.). — Voir Rousseau (M.). Goscianski (M.), Léger (L.) and Mircea-Roussel (A.). — Field induced transitions in smectic A phases. Guyon (E.). — Voir Carrigan (CR.).	L-5 L-45 L-15 L-15 L-15 L-10 L-27 L-27 L-219 L-279 L-105 L-219
of the 2p levels of 21Ne using a CW tunable dye laser Grynberg (G.). — Voir Biraben (F.). Jannink (G.). — Voir Farnoux (B.). Jaegle (A.). — Voir Duguet (A.). Keller (JC.). — Voir Champeau (RJ.). Labarthe (JJ.). — Voir Bauche-Arnoult (C.). Lallemand (P.). — Voir Bousquet (C.). Ober (R.). — Voir Bousquet (C.). Ober (R.). — Voir Bouchiat (MA.). Schneider (WB.). — Voir Gay (JC.). Vanier (J.). — Voir Desaintfuscien (M.). Viennet (J.). — Voir Desaintfuscien (M.). PHYSIQUE DES PLASMAS Carillon (A.). — Voir Jamelot (G.). Jaegle (P.). — Voir Jamelot (G.). Jamelot (G.), Carillon (A.), Jaegle (P.) et Sureau (A.). — On the interpretation of intensity anomalies in dense aluminium plasmas Jolly (J.). — Mesure de la densité des ions métastables d'argon dans un plasma fortement ionisé. Mendonça (JT.) et Zanfagna (B.). — Diffusion incohérente d'une onde électromagnétique à la fréquence hybride supérieure Sureau (A.). — Voir Jamelot (G.). Zanfagna (B.). — Voir Mendonça (JT.). MATIÈRE CONDENSÉE Almairac (R.). — Two eigenvector determinations in	L-41 L-35 L-193 L-161 L-285 L-29 L-233 L-35 L-185 L-281 L-281 L-281 L-293 L-293 L-293 L-293 L-165 L-293 L-165	Courdille (JM.) et Dumas (J.). — Atténuation ultrasonore critique dans Gd ₂ (MoO ₄) ₃ Cyrot-Lackmann (F.). — Voir Desjonquères (MC.). Defourneau (D.). — Voir Léger (A.). De Groot (R.). — Voir Sommers (C.). Desjonquères (MC.) and Cyrot-Lackmann (F.). — d Surface states in transition metals. Destrade (C.) et Gasparoux (H.). — Etude de la structure des chaînes dans les différentes phases solide, nématique ou liquide, du méthoxybenzilidènebutylaniline (MBBA). Dianoux (A. J.), Volino (F.), Heidemann (A.) et Hervet (H.). — Neutron quasielastic scattering study of translational motions in the smectic H, C and A phases of TBBA Dubois-Violette (E.) and Gennes de (PG.). — Local Frederiks transitions near a solid/nematic interface. Dumas (J.). — Voir Courdille (JM.). Duval (E.). — Voir Ben Ghorbal (M.). Etemad (S.). — Voir Cooper (JR.). Friedel (J.). — On the pressure dependence of superconductivity in transition metal dichalcogenide layer crystals. Gasparoux (H.). — Voir Destrade (C.). Gasser (JG.) and Kleim (R.). — Electrical resistivity of some liquid cadmium antimony alloys as a function of temperature Gennes de (PG.). — Voir Rousseau (M.). Goscianski (M.), Léger (L.) and Mircea-Roussel (A.). — Field induced transitions in smectic A phases.	L-5 L-45 L-10 L-10 L-27 L-25 L-10 L-219 L-279 L-105 L-219 L-121 L-145
of the 2p levels of 21Ne using a CW tunable dye laser Grynberg (G.). — Voir Biraben (F.). Jannink (G.). — Voir Farnoux (B.). Jaegle (A.). — Voir Duguet (A.). Keller (JC.). — Voir Champeau (RJ.). Labarthe (JJ.). — Voir Bauche-Arnoult (C.). Lallemand (P.). — Voir Bousquet (C.). Ober (R.). — Voir Farnoux (B.). Pottier (L.). — Voir Bouchiat (MA.). Schneider (WB.). — Voir Gay (JC.). Vanier (J.). — Voir Desaintfuscien (M.). PHYSIQUE DES PLASMAS Carillon (A.). — Voir Jamelot (G.). Jaegle (P.). — Voir Jamelot (G.). Jamelot (G.), Carillon (A.), Jaegle (P.) et Sureau (A.). — On the interpretation of intensity anomalies in dense aluminium plasmas Jolly (J.). — Mesure de la densité des ions métastables d'argon dans un plasma fortement ionisé. Mendonça (JT.) et Zanfagna (B.). — Diffusion incohérente d'une onde électromagnétique à la fréquence hybride supérieure Sureau (A.). — Voir Jamelot (G.). Zanfagna (B.). — Voir Mendonça (JT.). MATIÈRE CONDENSÉE	L-41 L-35 L-193 L-161 L-285 L-29 L-233 L-35 L-189 L-185 L-281 L-281 L-293 L-293 L-293 L-293	Courdille (JM.) et Dumas (J.). — Atténuation ultrasonore critique dans Gd ₂ (MoO ₄) ₃ Cyrot-Lackmann (F.). — Voir Desjonquères (MC.). Defourneau (D.). — Voir Léger (A.). De Groot (R.). — Voir Sommers (C.). Desjonquères (MC.) and Cyrot-Lackmann (F.). — d Surface states in transition metals. Destrade (C.) et Gasparoux (H.). — Etude de la structure des chaînes dans les différentes phases solide, nématique ou liquide, du méthoxybenzilidènebutylaniline (MBBA). Dianoux (A. J.), Volino (F.), Heidemann (A.) et Hervet (H.). — Neutron quasielastic scattering study of translational motions in the smectic H, C and A phases of TBBA Dubois-Violette (E.) and Gennes de (PG.). — Local Frederiks transitions near a solid/nematic interface. Dumas (J.). — Voir Courdille (JM.). Duval (E.). — Voir Ben Ghorbal (M.). Etemad (S.). — Voir Cooper (JR.). Friedel (J.). — On the pressure dependence of superconductivity in transition metal dichalcogenide layer crystals. Gasparoux (H.). — Voir Destrade (C.). Gasser (JG.) and Kleim (R.). — Electrical resistivity of some liquid cadmium antimony alloys as a function of temperature. Gennes de (PG.). — Voir Rousseau (M.). Goscianski (M.), Léger (L.) and Mircea-Roussel (A.). — Field induced transitions in smectic A phases. Guyon (E.). — Voir Carrigan (CR.).	L-5 L-45 L-15 L-15 L-10 L-27 L-27 L-27 L-10 L-219 L-275 L-105 L-25 L-121 L-215 L-121

Heger (JP.). — Raman scattering: measurements of		Meunier (F.). — Voir Lamoise (AM.)	L-271
depolarization ratios and order parameters in an orien-		Meunier (F.). — Voir Lamoise (AM.)	L-305
ted nematic mesophase	L-209	Meyer (RB.), Liebert (L.), Strzelecki (L.) and Keller (P.). —	
Heidemann (A.). — Voir Dianoux (A. J.)	L-275	Ferroelectric liquid crystals	L-69
Hervet (H.). — Voir Dianoux (A. J.).	L-275	Mircea-Roussel (A.). — Voir Goscianski (M.)	L-313
Hone (D.). — Voir Blandin (A.)	L-109	Nouet (J.). — Voir Rousseau (M.)	L-121
Jacucci (G.), Klein (ML.) and McDonald (IR.). — A		Nourtier (A.). — Voir Blandin (A.).	L-109
molecular dynamics study of the lattice vibrations of		Parodi (O.). — Voir Malet (G.)	L-317
sodium chloride	L-97	Plumier (R.) et Krill (G.). — Mise en évidence par diffraction	
Jérôme (D.). — Voir Cooper (JR.)	L-219	des neutrons de l'ordre antiferromagnétique dans la	
Julliard (J.). — Voir Rousseau (M.)	L-121	phase métallique pyrite NiS _{1,4} Se _{0,6}	L-249
Kaplan (D.). — Voir Sommers (C.)	L-157	Ponpon (JP.) et Siffert (P.). — Augmentation de la hauteur	
Keller (P.). — Voir Meyer (R. B.)	L-69	de barrière de diodes de Schottky au silicium : appli-	
Kleim (R.). — Voir Gasser (JG.)	L-93	cation aux cellules solaires	L-149
Klein (J.). — Voir Léger (A.)	L-301	Quelard (G.). — Résistivité électrique du bismuth irradié	
Klein (ML.). — Voir Jacucci (G.)	L-97	aux neutrons rapides	L-247
Kragler (R.) and Thomas (H.). — Dynamics of structural		Rialland (JF.) et Robert (J.). — Phénomènes de transport	
phase transition in A 15-compounds	L-153	atomique dans les alliages liquides Indium-Plomb	L-89
Krill (G.). — Voir Plumier (R.)	L-249	Rivory (J.) and Theye (ML.). — Optical properties of	
Lamoise (A. M.), Chaumont (J.), Meunier (F.) and Ber-		Ag-Cu alloys: evidence for d-virtual bound states on	
nas (H.). — Superconducting properties of alumi-		Cu impurities	L-129
nium thin films after ion implantation at liquid helium		Robert (J.). — Voir Rialland (JF.).	L-89
temperatures	L-271	Rousseau (M.), Gesland (JY.), Julliard (J.), Nouet (J.),	20)
Lamoise (AM.), Chaumont (J.), Meunier (F.) and Bernas		Zarembowitch (J.) et Zarembowitch (A.). — Change-	
(H.). — Resistivity annealing properties of aluminium		ment de phase structural dans RbCdF ₃ et TlCdF ₃	L-121
thin films after ion implantation at liquid helium tem-		Siffert (P.). — Voir Ponpon (JP.).	L-149
peratures	L-305	Sommers (C.), De Groot (R.), Kaplan (D.) and Zylbersztejn	D-1-7
Léger (A.), Klein (J.), Cheveigne de (S.), Belin (M.) and		(A.). — Cluster calculations of the electronic d-states	
Defourneau (D.). — Tunnelling investigation of the		in VO ₂	L-157
phonon spectrum pf superconducting Be. Implications		Strzelecki (L.). — Voir Meyer (RB.).	L-137
for an eventual enhancement of T_c^+	L-301	Theye (ML.). — Voir Rivory (J.).	L-129
Léger (L.). — Voir Goscianski (M.).	L-313	Thiriet (Y.) and Martinoty (P.). — Ultrasonic impedome-	L-123
Libchaber (A.). — Voir Castaing (B.)	L-309		T 105
Liebert (L.). — Voir Meyer (RB.)	L-69	tric studies in a smectic B liquid crystal (BBOA)	L-125
Litterst (FJ.). — Susceptibility of non-crystalline ferroma-		Thomas (H.). — Voir Kragler (R.).	L-153
gnetic FeF ₂	L-197	Toledano (JC.) et Busch (M.). — Caractère impropre de la	
McDonald (IR.). — Voir Jacucci (G.)	L-97	transition ferroélastique du niobate de baryum et de	T 1.41
Malet (G.), Marignan (J.) and Parodi (O.). — Dynamical		sodium	L-141
analysis of magnetic field effects on a cholesteric cano		Velleaud (G.) et Mercier (M.). — Interprétation de l'effet	
wedge	L-317	magnétoélectrique dans TbAlO ₃ à l'aide du modèle	T 251
Marignan (J.). — Voir Malet (G.)	L-317	d'Ising	L-251
Martinoty (P.). — Voir Candau (S.)	L-13	Villain (J.). — Spin relaxation in conducting chains	L-173
Martinoty (P.). — Voir Thiriet (Y.)	L-125	Volino (F.). — Voir Dianoux (A. J.).	L-275
Mathey (Y.) and Mazières (C.). — Phase transitions in layer-		Weger (M.). — Voir Cooper (JR.).	L-219
intercalation compounds of nickel cyanide with n-alky-		Zana (R.). — Voir Candau (S.)	L-13
lamines	L-243	Zarembovitch (A.). — Voir Rousseau (M.)	L-121
Mazières (C.). — Voir Mathey (Y.)	L-243	Zarembowitch (J.). — Voir Rousseau (M.)	
Mercier (M.). — Voir Velleaud (G.)	L-251	Zvlbersztejn (A.). — Voir Sommers (C.)	L-157



REVUE de PHYSIQUE APPLIQUÉE

Tome 10 — 1975

PHYSIQUE APPLIQUEE ET		Meyer (C.). — Voir Dupré (J.)	285
PROPRIÉTÉS DE LA MATIÈRE		Meyer (F.). — Voir Dupré (J.)	285
		Miehe (JA.) et Sipp (B.). — Reconstitution d'une impulsion	
Abou el Ela (AH.). — The absorption band edge of lead		lumineuse brève. Etude des fluctuations temporelles d'un	
telluride films under quantum size effect	105	photomultiplicateur	127
Allis (W. P.). — Etude d'une décharge à haute pression ionisée		Mignot (P.). — Voir Fric (C.)	305
par un faisceau d'électrons à haute énergie	97	Moliton (JP.), Barussaud (A.), Vareille (JC.) et Teyssier	
Aubert (D.), Baldy (A.), Baulaigue (P.) et Chantrel (H.).		(JL.). — Etude par spectrométrie d'absorption infra-	
Photoexcitation et pompage optique dans un jet atomique		rouge des dommages produits par des photons γ et des	
de baryum	187	ions lourds sur un triacétate de cellulose	109
Baldy (A.). — Voir Aubert (D.)	187	Murray (H.). — Variations dimensionnelles des propriétés	
Barussaud (A.). — Voir Moliton (JP.)	109	électroniques de couches minces pulvérisées en champ	
Baulaigue (P.). — Voir Aubert (D.)	187	électrique haute-fréquence	429
Benazeth-Colombie (N.). — Voir Nizam (J.)	183	Nizam (J.) et Benazeth-Colombie (N.). — Influence de la	
Blazek (Z.). — Voir Vergne (R.)	195	température sur le taux de pulvérisation de cibles de sili-	
Boyer (A.). — Voir Phalippou (J.)	439	cium et germanium	183
Bréhat (F.) et Hadni (A.). — Spectres d'absorption du nitrate		Oddou (C.). — Voir Flaud (P.).	61
de potassium dans l'infrarouge lointain	47	· · · · · · · · · · · · · · · · · · ·	-299
Cazaux (J.). — Microanalyse et microscopie photoélectroni-		Phalippou (J.), Boyer (A.), Groubert (E.) et Zarzycki (J.).	
ques X : Principe et performances prévisibles	263	Etude du frottement intérieur des borates et phospholumi-	
Chantrel (H.). — Voir Aubert (D.).	187	nates vitreux par la méthode d'écho d'impulsion (pulse	
Dolino (G.). — Dauphiné twin observation in quartz using		echo)	439
piezo or electro-optic effects	435	Porteseil (J. L.). — Voir Vergne (R.).	195
Dupré (J.), Meyer (F.) et Meyer (C.). — Influence des phéno-		Quémada (D.). — Voir Flaud (P.)	61
mènes de relaxation sur la forme des impulsions fournies		Raynes (E. P.). — Optically active additives in twisted nematic	
par un laser CO ₂ déclenché par un absorbant saturable.	285	devices	117
Flaud (P.), Geiger (D.), Oddou (C.) et Quémada (D.). — Dispo-		Ricard (A.). — Voir Lefebvre (J.)	137
sitif expérimental pour la modélisation de l'écoulement		Robert (J.). — Voir Gharadjedaghi (F.)	-281
sanguin dans les artères	61	Schunck (JP.), Friedt (JM.) et Llabador (Y.). — Spectro-	
Fric (C.) et Mignot (P.). — Etude par RPE en champ faible		scopie Mössbauer de ⁵⁷ Fe et ¹¹⁹ Sn par détection des	
d'un monoradical nitroxyde dilué dans un solide	305	électrons de conversion et Auger ; Application à des	
Friedt (JM.). — Voir Schunck (JP.)	121	études de surface	121
Geiger (D.). — Voir Flaud (P.)	61	Sipp (B.). — Voir Miche (JA.).	127
Gharadjedaghi (F.) et Robert (J.). — Etude machématique de		Teyssier (JL.). — Voir Moliton (JP.).	109
la réponse optique d'une structure nématique en hélice dis-		Vareille (JC.). — Voir Moliton (JP.)	109
tordue par un champ normal à son axe	281	Vergne (R.), Porteseil (J. L.) et Blazek (Z.). — Influence d'un	
Gharadjedaghi (F.) and Robert (J.). — Optical and electro-opti-		état désaimanté anisotrope sur l'aimantation dans le	
cal behaviour of a liquid crystal helicoidal structure	69	domaine de Rayleigh	195
Groubert (E.). — Voir Phalippou (J.)	439	Zarzycki (J.). — Voir Phalippou (J.)	439
Hadni (A.). — Voir Brehat (F.)	47		
Jadot (JP.). — Voir Jouve (H.)	51	TECHNIQUES EXPÉRIMENTALES	
Jouve (H.) et Jadot (JP.). — Analyse dynamique du dépla-			
cement de domaines magnétiques par des gradients de		Adde (R.). — Voir Vernet (G.)	165
champ	51	Amzallag (E.). — Diffusion Raman spin-flip dans les semi-	
Llabador (Y.). — Voir Schunck (JP.)	121	conducteurs	367
Labrunie (G.). — Analog electro-optical interface for spectral		Balossier (G.). — Voir Genotel (D.)	445
analysis	213	Belouet (C.). — Caractérisation et croissance de monocris-	
Lacam (A.) et Peyronneau (J.). — Transitions polymorphiques		taux D-KDP utilisés comme modulateurs électro-opti-	
ultra-rapides, induites par la pression, dans les halogé-		ques dans les dispositifs à restitution d'image	362
nures alcalins	299	Béranger (G.), David (D.), Garcia (EA.) et Lucas (X.).	
Lacam (A.) et Peyronneau (J.). — Transitions haute pression.		Etude de la contamination superficielle (O, C, N, F) des	
Zone d'indifférence des halogénures du rubidium	295	métaux au moyen de la microanalyse nucléaire	87
Le Doucen (R.). — Voir Lenormand (J.)	257	Bergé (P.), Boyer (L.), Dubois (M.) et Ozenda (B.). — Analy-	
Lefebvre (J.) et Ricard (A.). — Excitation de N ₂ O ₂ et H ₂ en		seur de spectre T.B.F. à « compression de temps » réalisé	
impuretés dans des décharges de gaz rares He, Ne et Ar	137	à partir de mémoires multicanaux. Application à l'analyse	
Lenormand (J.) et Le Doucen (R.). — Sections efficaces d'émis-		de signaux aléatoires provenant de vélocimètres optiques.	81
sion des raies de Balmer H_{α} , H_{β} , H_{γ} produites par impact		Betemps (M.). — Voir Jutard (A.)	309
de protons 10-100 keV sur N ₂ O ₂	257	Bloyet (D.). — Voir Ghozlan (A.)	465

Borel (J.) Voir Labrunie (G.)	143	Jutard (A.), Scavarda (S.), Lebrun (M.) et Betemps (M.). —	
Bouiller (A.) et Ridelaire (H.). — Réalisation d'un thermostat	1 13	Doseur continu d'hydrocarbures gazeux fonctionnant en	
		méthode de zéro asservi	309
pour cellule de mesure destinée à la spectrométrie de	225	Kikubi (M. S.). — Voir El Badawy (El. S.).	35:
lumière laser diffusée par des particules en suspension	335		
Boyer (L.). — Voir Bergé (P.).	81	Kirshnan (R.). — Voir Tran Khanh Vien	393
Bransier (J.), Collignon (F.) et Poncin (H.). — Evaluation des		Kobayashi (S.). — Voir Mada (H.)	14
fuites thermiques par les fils de détecteurs dans les mesures		Labrunie (G.), Robert (J.) and Borel (J.). — A 128 × 128 elec-	
de température en régime transitoire	17	tro-optical interface for real time data processing	14:
Cai (L.). — Voir Godefroy (G.)	399	Lacam (A.), Peyronneau (J.) et Vo Thanh (D.). — Conditions	
Challeton (D.). — Voir Coeure (P.)	379	d'utilisation, sous hautes pressions isostatiques, de la	
Chanussot (G.), Voisin (J.), Dehaut (B.), Godefroy (G.). —		méthode d'inductance pour la mesure de la compressibi-	
Etude optique de la structure Jahn Teller dans BaTiO ₃		lité des solides	3.
dopé	405	Lebailly (J.). — Matériaux semiconducteurs pour sources	
Chapoton (A.), Ravalitera (G.), Choquet (M.), Vandorpe (B.)		électroluminescentes et lasers	364
et Gengembre (L.). — Sur la décomposition par ordi-		Leblond (J.). — Voir El Badawy (El. S.)	35:
nateur et l'interprétation des domaines d'absorption		Lebrun (M.). — Voir Jutard (A.)	309
« moyennes fréquences » de plusieurs zéolithes synthé-		Le Floch (A.) et Stephan (G.). — Mesure de rotations Faraday	
tiques A, obtenues par échanges de cations	153	dans un laser anisotrope	
Chemla (D. S.). — Voir Duraffourg (G.)	363	Le Gall (H.). — Voir Tran Khanh Vien	393
Choquet (M.). — Voir Chapoton (A.).	153	Legentil (M.). — Voir Geoffrion (B.)	1
Coeure (P.), Challeton (D.), Daval (J.), Jadot (J. P.) et Peuzin	100	Lucas (X.). — Voir Béranger (G.).	8
(J. C.). — Propriétés et applications des matériaux magné-		Lumley (JM.). — Voir Waldram (JR.).	Ŭ,
	379	Machet (J.). — Origine des oscillations ioniques dans une	
to-optiques.		source d'ions à confinement magnétique et à extraction	
Collignon (F.). — Voir Bransier (J.)	17		455
Combet (H. A.). — Matériaux pour guides de lumière	349	axiale	45.
Cornet (J.). — Les applications optiques des verres semi-	100	Mada (H.) and Kobayashi (S.). — Electro-optical properties	
conducteurs	409	of twisted nematic liquid crystals : an application to	1.45
Daval (J.). — Voir Coeure (P.)	379	voltage controllable color formation	147
David (D.). — Voir Béranger (G.)	87	Merle (J. C.) et Wecker (C.). — Réalisation d'un densitomètre	
Dehaut (B.). — Voir Chanussot (G.)	405	différentiel	221
Delmas (A.), Rioux (C.) et Rioux-Damidau (F.). — Etude d'un		Micheron (F.). — Voir Huignard (JP.)	417
disjoncteur rapide pour courants intenses	241	Möller (P. A.). — Voir Schwebel (C.)	227
Dubois (M.). — Voir Bergé (P.)	81	Nouet (J.). — Voir Julliard (J.)	325
Duraffourg (G.), Chemla (D. S.), Jerphagnon (J.). — Suscepti-		Ostrowsky (D.). — Optique des ondes guidées	34
bilité du deuxième ordre et structure cristalline des		Ozenda (B.). — Voir Bergé (P.)	8
iodates	363	Perdijon (J.). — Miroir pour l'examen d'un objet cylindrique	
Durand (G.). — Mécanismes physiques utilisés dans les		sous une incidence constante le long d'hélices données	319
applications des cristaux	366	Peuzin (J. C.). — Voir Coeure (P.)	379
El Akkad (F.). — Photoluminescence et niveaux localisés dans	200	Peyronneau (J.). — Voir Lacam (A.)	3:
	265	Pham Tu Manh. — Voir Schwebel (C.)	22
ZnTe dopé au phosphore	365	Poncin (H.). — Voir Bransier (J.)	1
El Badawy (El S.), Kikubi (M. S.), Leblond (J.). — Utilisation		Ravalitera (G.). — Voir Chapoton (A.)	15
d'un effet acousto-optique pour l'analyse spectrale super-		Ridelaire (H.). — Voir Bouiller (A.).	33:
hétérodyne en diffusion de la lumière	355	Rioux-Damidau (F.). — Etude comparative de divers procédés	25.
Garcia (E. A.). — Voir Béranger (G.)	87	de transfert d'énergie	2
Gastaud (G.). — Diffusion de la lumière et effet photovoltaïque		Dioux Domidon (E) Voir Dolmon (A)	
dans les céramiques ferroélectriques	424	Rioux-Damidau (F.). — Voir Delmas (A.)	24
Gengembre (L.). — Voir Chapoton (A.)	153	Rioux (C.). — Théorie simplifiée des procédés de transfert	
Genotel (D.) et Balossier (G.). — Optimisation d'un transfor-		inductif à haut rendement	7:
mateur à courant continu pour le réglage fin de l'excitation		Rioux (C.). — Voir Delmas (A.)	24
d'une lentille magnétique supraconductrice en boucle		Robert (J.). — Voir Labrunie (G.)	143
fermée	445	Sanzelle (S.), Vennat (J. C.) et Guillemain (C.). — Appareillage	
Geoffrion (B.) et Legentil (M.). — Etude et réalisation d'une		destiné à l'étude de la thermoluminescence entre 77 K	
bobine de stockage d'énergie magnétique adaptée à une		et 773 K	47.
dynamo unipolaire impulsionnelle de 5 MJ	11	Scavarda (S.). — Voir Jutard (A.)	309
Ghozlan (A.), Bloyet (D.) et Varoquaux (E.). — Régulateur de	11	Schwebel (C.), Möller (P. A.) et Pham Tu Manh. — Formation	
température pour réfrigérateur à dissolution	465	et confinement d'ions multichargés dans un champ qua-	
	403	drupolaire à haute fréquence	22
Godefroy (G.), Jullien (P.) et Cai (L.). — Les titanates de	200	Stephan (G.). — Voir Le Floch (A.)	
baryum dopés ont-ils des propriétés semiconductrices ?	399	Tfibel (F.). — Une lampe flash coaxiale de faible inductance	33
Godefroy (G.). — Voir Chanussot (G.)	405	Tran Khanh Vien, Jamet (J. P.), Le Gall (H.), Kirshnan (R.).	
Guillemain (C.). — Voir Sanzelle (S.)	473	Mise en évidence de la modulation linéaire de l'intensité	
Herriau (JP.). — Voir Huignard (J. P.)	417	de la lumière due à l'anisotropie de la biréfringence magné-	
Huignard (JP.), Herriau (JP.) and Micheron (F.). — Optical		tique linéaire	393
storage in LiNbO ₃ : Fe with selective erasure capability	417	Du Trémolet de Lacheisserie (E.). — Dilatomètre linéaire	
Jadot (J. P.). — Voir Coeure (P.).	379	capacitif à usages multiples	169
Jamet (J. P.). — Voir Tran Khanh Vien.	393	Vandorpe (B.). — Voir Chapoton (A.).	153
Jerphagnon (J.). — Propriétés optiques et structures cristallines	403		
Jerphagnon (J.). — Voir Duraffourg (G.)	363	Varoquaux (E.). — Voir Ghozlan (A.)	46:
	303	Vennat (J. C.). — Voir Sanzelle (S.).	473
Julliard (J.) et Nouet (J.). — Analyse radiocristallographique		Vernet (G.) and Adde (R.). — Critical study of the Josephson	1.6
de la distorsion magnétostrictive dans les antiferroma-	225	oscillator in frequency conversion and detection	16:
gnétiques KCoF ₃ , RbCoF ₃ et TlCoF ₃	325	Voisin (J.). — Voir Chanussot (G.).	405
Jullien (P.). — Voir Godefroy (G.)	399	Vo Thanh (D.). — Voir Lacam (A.)	3.

Waldram (JR.) and Lumley (JM.). — Direct measurements		Kepecek (Ph.) et Batifol (E.). — Dispositif d'étude et d'enre-	
of the current-phase relation in superconducting weak		gistrement de la transmission infrarouge d'un objet	43
Maka	7	Marty (D.). — Voir Delmas (G.)	175
Wecker (C.). — Voir Merle (JC.)	221	Mesnard (G.). — Voir Proisy (B.)	
		Paureau (J.). — Nouveau dispositif d'étanchéité pour hautes	
		pressions	477
, NOTES TECHNIQUES		Pegna (G.) and Congiu (A.). — A new method of measuring the	
		thermoelectric figure of merit	177
Batifol (E.). — Voir Kupecek (Ph.)	43	Pellissier (B.). — Voir Cadoz (J. L.)	247
Cadoz (J. L.), Castaing (J.), Dolin (C.), Gervais (H.) et Pellis-		Pellissier (JP.). — Voir Proisy (B.)	
sier (B.). — Montage de compression à vitesse constante		Proisy (B.), Pellissier (JP.) et Mesnard (G.). — Réalisation	
pour très hautes températures	247	d'un traceur automatique de caractéristiques statiques I	
Castaing (J.). — Voir Cadoz (J. L.)	247	(V) pour des échantillons très sensibles à la température.	173
Congiu (A.). — Voir Pegna (G.)	177	Viaris de Lesegno (P.). — Voir Inglebert (RL.)	339
Delmas (G.) et Marty (D.). — Jauge de pression miniature pour			
basses températures	175		
Dolin (C.). — Voir Cadoz (J. L.)	247	ARTICLE DE REVUES	
Gervais (H.). — Voir Cadoz (J. L.)	247		
Inglebert (RL.) et Viaris de Lesegno (P.). — Mesures de cou-		Rooymans (C. J. M.). — Recent trends in magnetic bubble-	
rants faibles d'électrons ou d'ions négatifs	339	devices	179



Ve conférence internationale sur les cristaux liquides Vth International liquid crystal conference

Stockholm 1974

Achard (M. F.). — Voir Gasparoux (H.)	C1-107	Dave (J. S.) and Kurian (G.). — Low melting thermotropic liquid crystals-p-p' disubstituted phenylbenzoates-II: (a) p(p'-n-alkoxybenzoyloxy) aceto-	
Application to solute induced nematic → isotropic		phenones; (b) p(p'-n-alkoxybenzoyloxy) benzalde-	
transitions	C1-141	hydes	C1-403
Amerik (Y. B.). — Voir Konstantinov (I. I.)	C1-55	Delhaes (P.). — Voir Hardouin (F.)	C1-127
crystal phase transitions	C1-133	lecki (L.). — Deuteron magnetic resonance study	
Arrott (A. S.). — Voir Press (M. J.)	C1-177	of molecular order in TBBA	C1-21
Asada (T.), Maruhashi (Y.) and Onogi (S.). — Prelimi-		Demus (D.), Richter (L.), Rürup (CE.), Sackmann (H.)	
nary experiments on dynamic mechanical proper- ties of cholesteryl myristate	C1-299	and Schubert (H.). — Synthesis and liquid crystal- line properties of 4,4'-disubstituted biphenyls	C1-349
ties of enoisoly inglistaee	CI-Z	Deuling (H. J.). — Voir Helfrich (W.)	C1-349
Bacon (W. E.). — Polymerization of phenylacetylene		Deutscher (HJ.). — Voir Schubert (H.)	C1-379
in nematic cholesteric and isotropic solvents	C1-409	Dianoux (A. J.). — Voir Volino (F.)	C1-83
Bacri (J. C.). — Divergence de la constante de Frank K_{33} et de l'atténuation ultrasonore α_{\parallel} au-dessus		Doane (J. W.). — Voir Wise (R. A.)	C1-117
d'une transition smectique A-nématique	C1-123	Van Doorn (C. Z.). — Transient behaviour of a twisted nematic liquid-crystal layer in an electric field	C1-261
Bartolino (R.), Scudieri (F.), Sette (D.) and Sli-		Doucet (J.), Levelut (A. M.), Lambert (M.), Liébert (L.)	01 201
vinski (A.). — Ultrasonic absorption and order of	Gr 401	and Strzelecki (L.). — Nature de la phase smec-	
the smectic-A-nematic phase transition Baur (G.). — Voir Stieb (A.)	C1-121 C1-185	tique E	C1-13
Bertolotti (M.). — Voir Zulauf (M.)	C1-265	Dubois (J. C.). — Voir Billard (J.)	C1-355
Billard (J.), Dubois (J. C.) et Zann (A.). — Benzyli-		Dubois-Violette (E.) and de Gennes (P. G.). — Convection and permeation in cholesteric fluids	C1-293
dène anilines p-p' disubstituées. Nouvelles séries		Dubois-Violette (E.). — Voir Smith (I. W.)	C1-237
de mésomorphes à anisotropie diélectrique posi-	C1-355	Durand (G.). — Voir Smith (I. W.)	C1-237
Blinov (L. M.), Kizel (V. A.), Rumyantsev (V. G.) and	C1-333	Dvolaitzky (M.). — Voir Poldy (F.)	C1-27
Titov (V. V.). — Study of nematic liquid crystals			
by means of the guest dye dichroism	C1-69	Filippini (J. C.) and Poggi (Y.). — Kerr effect and pre- transitional phenomena in nematic liquid crystals.	C1-137
Borel (J.), Labrunie (G.) and Robert (J.). — New applications of liquid crystals	C1-215	transmonar phonomena in nomatic inquia orystasis.	01 15.
Bouchiat (M. A.). — Voir Langevin (D.)	C1-197	Galerne (Y.). — Voir Smith (I. W.)	C1-237
Bouligand (Y.). — Defects and textures in cholesteric		Gasparoux (H.), Hardouin (F.), Achard (M. F.),	
analogues given by some biological systems	C1-331	Signal (G.). — Compared action of a rotating	
Bouligand (Y.). — Presentation of a film entitled « Textures of nematic and cholesteric liquid		magnetic field on smectic A and nematic phases. Application on the study of the $S_A \rightarrow$ nematic	
crystals »	C1-173	transition	C1-107
Brochard (F.), Léger (L.) and Meyer (R. B.) Freede-		Gasparoux (H.). — Voir Hardouin (F.)	C1-127
ricksz transition of a homeotropic nematic liquid	C1 200	De Gennes (P. G.). — On some flow properties of	
crystal in rotating magnetic field	C1-209	smectics A	C1-305
tic C	C1-321	De Gennes (P. G.). — Voir Dubois-Violette (E.) Goscianski (M.) and Léger (L.). — Electrohydrodyna-	C1-293
		mic instabilities above a nematic to smectic A or C	
Chandrasekhar (S.). — Voir Shashidhar (R.)	C1- 49	transition	C1-231
Chang (R.) and Gysbers (J. C.). — Evaluation of volume-temperature relationships in the nematic		Guha-Sridhar (C.), Hines (W. A.), Samulski (E. T.).	
phase of MBBA near its nematic-isotropic transi-		Polypeptide liquid crystals: diamagnetic aniso-	
tion by means of computer minimization methods.	C1-147	tropy, twist elastic constant and rotational visco- sity coefficient	C1-269
Charvolin (J.). — Voir Deloche (B.)	C1-21	Guyon (E.) and Pieranski (P.). — Poiseuille flow insta-	0. 20.
Chu (KS.) and Moroi (D. S.). — Self-diffusion in nematic liquid crystals	C1-99	bilities in nematics	C1-203
Coakley (C. J.). — Voir Lydon (J. E.)	C1-45	Gray (G. W.). — The liquid crystal properties of some	
Coates (D.) and Gray (G. W.) Novel smectic poly-		new mesogens	C1-337
morphic behaviour in homologous series of meso-	C1 265	Gray (G. W.). — Voir Coates (D.)	C1-365 C1-387
Colling (C. N.). — Voir Leadbetter (A. J.)	C1-365 C1-37	Gruler (H.) and Jones (F.). — Thermal expansion and	21 307
Cŏpič (M.) and Lavrenčič (B. B.). — Brillouin scatter-	0.57	specific heat of a nematic liquid crystal	C1-53
ing in liquid crystals	C1-89	Gysbers (J. C.) Voir Chang (R.)	C1-147

Hardouin (F.), Gasparoux (H.) and Delhaes (P.).		Martinet (A.). — Voir Rapini (A.)	C1-189
Study by calorimetric magnetic measurements of		Martire (D. E.). — Voir Ågren (G. I.)	C1-141
phase transitions in liquid crystals	C1-127	Maruhashi (Y.). — Voir Asada (T.)	C1-299
Hardouin (F.). — Voir Gasparoux (H.)	C1-107	Mayer (J.). — Voir Janik (J. A.)	C1-159
Helfrich (W.) and Deuling (H. J.). — Some theoretical		Mazkedian (S.), Melone (S.) and Rustichelli (F.). —	
shapes of red blood cells	C1-327	On light diffraction by cholesteric liquid crystals	
Hervet (H.). — Voir Volino (F.)	C1-83	with a pitch gradient	C1-283
Hines (W. A.). — Voir Guha-Sridhar (C.)	C1-269	McMillan (W. L.). — Phase transitions in liquid crystals	C1-103
D'Humières (D.) and Léger (L.). — Critical behaviour	C1 112	Meier (G.). — Voir Stieb (A.)	C1-185
above a nematic to smectic A phase transition	C1-113	Melone (S.). — Voir Mazkedian (S.)	C1-283
		Meyer (R. B.). — Voir Brochard (F.)	C1-209
Janik (J. A.), Janik (J. M.), Mayer (J.), Sciesinska (E.),		Mircea-Roussel (A.), Léger (L.), Rondelez (F.), de Jeu (W. H.). — Measurements of transport	
Sciesinski (J.), Twardoski (J.), Waluga (T.) and		properties in the nematic and smectic phases of	
Witko (W.). — Calorimetric and infra-red study	C1-159	various compounds	C1-93
of the phase situation in solid MBBA	C1-159	Moroi (D. S.). — Voir Chu (KS.).	C1-99
Janik (J. M.). — Voir Janik (J. A.)	C1-133	(12 b) (12 cm (12 b) (12 cm (1	
Jones, Jr. (F. B.) and Ratto (J. J.). — p-cyano substi-	C1-75	Olah (A.). — Voir Wise (R. A.)	C1-117
tuted cinnamic acid esters	C1-413	Onogi (S.). — Voir Asada (T.)	C1-299
Jones (F.). — Voir Gruler (H.)	C1-53	Orsay group on liquid crystals. — On some flow pro-	
College (2-0), College (2-1), Colleg		perties of smectics A	C1-305
Kessler (J. O.). — Voir Lydon (J. E.)	C1-153	,	
Khodzhaeva (V. L.). — Voir Konstantinov (I. I.)	C1-55	Parodi (O.). — Light propagation along the helical axis	
Kizel (V. A.). — Voir Blinov (L. M.)	C1-69	in chiral smectics C	C1-325
Kléman (M.). — Voir Williams (C. E.)	C1-315	Parodi (O.). — Voir Martin (J. C.)	C1-273
Konstantinov (I. I.), Khodzhaeva (V. L.), Shiskhina (M.		Pavluchenko (A. I.). — Voir Titov (V. V.)	C1-387
V.) and Amerik (Y. B.). — Determination of the		Pieranski (P.). — Voir Guyon (E.)	C1-203
degree of order of mesomorphic p-n-alkoxybenzoic		Poggi (Y.). — Voir Filippini (J. C.)	C1-137
acids by IR dichroism method	C1-55	Poldy (F.), Dvolaitzky (M.) and Taupin (C.). — Spin	
Kovshev (E. I.). — Voir Titov (V. V.)	C1-387	label studies of chain organization in a smectic	
Krüger (G. J.), Spiesecke (H.) and van Steenwinkel (R.).		liquid crystal	C1-27
— Nuclear magnetic relaxation and diffusion mea-		Press (M. J.) and Arrott (A. S.). — Elastic energies and	
surements in p-dodecanoylbenzylidene-p'-amino-	04.04	director fields in liquid crystal droplets. I. Cylin-	
azobenzene		drical symmetry	C1-177
Kuppe (R.). — Voir Schubert (H.)	C1-379	Price (F. P.). — Voir Armitage (D.)	C1-133
Kurian (G.). — Voir Dave (J. S.)	C1-403	Proust (J. E.), Ter-Minassian-Saraga (L.). — Orienta-	
		tion d'un cristal liquide par les surfaces et énergie	C1-77
Labrunie (G.). — Voir Borel (J.)	C1-215	libre d'adhésion	C1-7
Lagerwall (S. T.). — Voir Smith (I. W.)	C1-237		
Lambert (M.). — Voir Doucet (J.)	C1-13	Rapini (A.), Léger (L.) and Martinet (A.). — Umbilics:	C1 100
the turbidity of an oriented nematic liquid crystal	C1-197	static dynamic properties	C1-189
Lavrenčič (B. B.). — Voir Cŏpič (M.)	C1-89	Ratto (J. J.). — Voir Jones, Jr. (F. B.)	C1-413
Lazareva (V. T.). — Voir Titov (V. V.)	C1-387	Richter (L.). — Voir Demus (D.)	C1-349
Leadbetter (A. J.), Richardson (R. M.) and Colling (C.	02 00.	Robert (J.). — Voir Borel (J.)	C1-215
N.). — The structure of a number of nematogens.	C1-37	Rondelez (F.). — Voir Mircea-Roussel (A.)	C1-93
Lechner (R. E.). — Voir Volino (F.)	C1-83	Rumyantsev (V. G.). — Voir Blinov (L. M.)	C1-69
Léger (L.). — Voir Brochard (F.)	C1-209	Rürup (CE.). — Voir Demus (D.)	C1-349
Léger (L.). — Voir d'Humières (D.)	C1-113	Rustichelli (F.). — Voir Mazkedian (S.)	C1-283
Léger (L.). — Voir Goscianski (M.)	C1-231		
Léger (L.). — Voir Mircea-Roussel (A.)	C1-93	Sackmann (H.). — Voir Demus (D.)	C1-349
Léger (L.). — Voir Rapini (A.)	C1-189	Samulski (E. T.). — Voir Guha-Sridhar (C.)	C1-269
Levelut (A. M.). — Voir Doucet (J.)	C1-13	Schubert (H.), Schulze (W.), Deutscher (H. J.),	
Liébert (L.). — Voir Deloche (B.)	C1-21	Uhlig (V.) and Kuppe (R.). — Liquid crystals with	
Liébert (L.). — Voir Doucet (J.)	C1-13	hydroaromatic and hydroheterocyclic structures	C1-379
Lohar (J. M.). — A study of mixed liquid crystal formation in mixture of p-methoxy and p-ethoxy		Schubert (H.). — Voir Demus (D.)	C1-349
benzoic acids	C1-399	Schulze (W.). — Voir Schubert (H.)	C1-379
Lohar (J. M.). — Exhibition of nematic mesophase in	C1-377	Sciesińska (E.). — Voir Janik (J. A.)	C1-159
binary mixtures of Schiff's bases	C1-393	Sciesiński (J.). — Voir Janik (J. A.)	C1-159
Lubensky (T. C.). — Latent heat of the cholesteric to	01 575	Scudieri (F.). — Voir Bartolino (R.)	C1-12
smectic A transition	C1-151	Scudieri (F.). — Voir Zulauf (M.)	C1-26
Lydon (J. E.) and Coakley (C. J.). — A structural		Sette (D.). — Voir Bartolino (R.)	C1-121
study of the smectic mesophases of two biphenyl		crystals	C1-289
compounds and an X-ray investigation of the misci-		Shashidhar (R.) and Chandrasekhar (S.). — Pressure	C1-20
bility criterion	C1-45	studies on liquid crystalline materials	C1-49
Lydon (J. E.) and Kessler (J. O.). — Phase transitions		Shaya (S. A.) and Yu (H.). — Nematic order of a	3. 4.
observed on warming fast-quenched MBBA	C1-153	binary system: MBBA-biphenyl	C1-59
		Shishkina (M. V.). — Voir Konstantinov (I. I.)	C1-5
Martin (J. C.) and Parodi (O.). — Light refraction by a		Sigaud (G.). — Voir Gasparoux (H.)	C1-10
cholesteric prism	C1-273	Slivinski (A.). — Voir Bartolino (R.)	C1-12

Smith (I. W.), Galerne (Y.), Lagerwall (S. T.), Dubois- Violette (E.) and Durand (G.). — Dynamics of electrohydrodynamic instabilities in nematic liquid		Van der Veen (J.). — The influence of terminal substituents upon the nematic-isotropic transition temperature	C1-375
crystals	C1-237	Van Steenwinkel (R.). — Voir Krüger (G. J.)	C1-91
Spiesecke (H.). — Voir Krüger (G. J.)	C1-91	Volino (F.), Dianoux (A. J.), Lechner (R. E.) and Her-	
Stieb (A.), Baur (G.) and Meier (G.). — Alignment		vet (H.). — End chain motion in the solid phase of	431.03
inversion walls in nematic liquid crystal layers deformed by an electric field	C1-185	TBBA	C1-83
Strzelecki (L.). — Voir Deloche (B.)	C1-103	De Vries (A.). — Experimental investigations of the structure of thermotropic liquid crystals	C1-1
Strzelecki (L.). — Voir Doucet (J.).	C1-13	structure of thermotropic riquid crystals	Ciri
		Wolner (T) Voir Instit (TA)	C1-159
Taupin (C.). — Voir Poldy (F.)	C1-27	Waluga (T.). — Voir Janik (J. A.) Wheeler (P. A.). — Voir Tiddy (G. J. T.)	C1-139
Ter-Minassian-Saraga (L.). — Voir Proust (J. E.)	C1-77	Williams (C. E.) and Kléman (M.). — Dislocations,	C. 1-107
Tiddy (G. J. T.) and Wheeler (P. A.). — The kinetics of		grain boundaries and focal conics in smectics A	C1-315
formation and breakdown of pre-hexagonal phase		Wise (R. A.), Olah (A.) and Doane (J. W.). — Measure-	0.0.0
aggregates in fluid-isotropic amphiphile solutions.	C1-167	ments of y ₁ in nematic CBOOA and (40-7) by NMR.	CI-117
Titov (V. V.), Kovshev (E. I.), Pavluchenko (A. I.),		Witko (W.). — Voir Janik (J. A.)	C1-159
Lazareva (V. T.) and Grebenkin (M. F.). — Syn-			
thesis and properties of nematic liquid crystals	C1 207	Yu (H.). — Voir Shaya (S. A.)	C1-59
exhibiting a positive dielectric anisotropy	C1-387 C1-69	24 (22), 101 Sings (81) 21)	0,
Titov (V. V.). — Voir Blinov (L. M.)	C1-09	Zonn (A.) Voir Billord (I.)	C1 255
Twardowski (J.). — Voir Janik (J. A.)	C1-139	Zann (A.). — Voir Billard (J.)	C1-355
Uhlig (V.). — Voir Schubert (H.)	C1-379	tistical properties of dynamic scattering in MBBA.	C1-265
Omig (V.). Ton Schabert (II.)	C1-31)	distinct properties of dynamic scattering in WibbA.	C1-203



La structure compacte désordonnée The dense random packing structure

Orsay 1974

Bererhi (A.), Bosio (L.), Cortes (R.) et Defrain (A.). — Etude par diffraction des rayons X à très basses		Gillet (E.). — Voir Gillet (M.)	C2-102
températures des dépôts métalliques amorphes de gallium et de leur cristallisation	C2-79	glass structure	C2-33
De Bergevin (F.). — Definition of a parameter which measures the homogeneity of a material	C2-69	superconductive tunneling	C2-97
Bletry (J.). — Voir Dixmier (J.)	C2-65	Grundy (P. J.). — Voir Davies (L. B.)	C2-59
Bonissent (A.). — Structure, energy and entropy of the crystal-melt interface: computer simulation.	C2-103	Hunderi (O.), Myers (H. P.) and Ryberg (R.).—Aspects of the optical properties of quench condensed metal	C2-89
Bosio (L.). — Voir Bererhi (A.)	C2-79	films	C2-03
Boudreaux (D. S.). — Voir Polk (D. E.)	C2-55	Jensen (E. J.), Damgaard Kristensen (W.) and Cotterill	C2-71
Bourg (M.). — Voir Julg (A.)	C2-31	(R. M. J.). — Order-disorder transition produced	
Cargill III (G.S.). — Atomic scale structure and magne-		by dislocations in an f.c.c. Lennard-Jones solid	C2-49
tic properties of some metallic alloy glasses	C2-73	Jensen (E. J.). — Voir Cotterill (R. M. J.)	C2-35
Cortes (R.). — Voir Bererhi (A.)	C2-79	Jensen (E. J.). — Voir Damgaard Kristensen (W.)	C2-21
Cotterill (R. M. J.), Jensen (E. J.), Damgaard Kristen-		Joyes (P.). — Voir Leleyter (M.)	C2-29
sen (W.), Paetsch (R.) and Esbjørn (P. O.). — A		Julg (A.) et Bourg (M.). — Adaptation de la méthode	
unified theory of melting, crystallization and glass formation	C2-35	des orbitales moléculaires pour l'étude de l'éner-	
Cotterill (R. M. J.). — Voir Damgaard Kristensen (W.)	C2-21	gie électronique d'agrégats possédant jusqu'à 500 atomes. Application au lithium	C2-31
Cotterill (R. M. J.). — Voir Jensen (E. J.)	C2-49	Kuhnast (F. A.). — Voir Machizaud (F.)	C2-83
Damgaard Kristensen (W.), Jensen (E. J.) and Cotte-	C2-47	Leleyter (M.) et Joyes (P.). — Structure électronique	
rill (R. M. J.). — Molecular dynamics calculations		de petits agrégats obtenus par émission ionique	
of microcluster properties	C2-21	secondaire	C2-29
Damgaard Kristensen (W.). — Voir Cotterill (R. M. J.)	C2-35	Machizaud (F.), Kuhnast (F. A.) et Flechon (J.).	
Damgaard Kristensen (W.). — Voir Jensen (E. J.)	C2-49	— Ordre local et A. T. D. dunickel-phosphore	C2-83
Davies (L. B.), Grundy (P. J.) and Nandra (S. S.). —		Mangin (Ph.). — Voir Marchal (G.)	C2-91
Amorphous films of transition and coinage metals:	CID #0	Marchal (G.), Mangin (Ph.) et Janot (C.). — The crystallization of Fe-Au amorphous alloys	C2-91
Some structural, electrical and magnetic properties.	C2-59	Mutaftschiev (B.). — Structure et fonction de partition	C2-91
Defrain (A.). — Voir Bererhi (A.)	C2-79	de très petits agrégats de gaz rares, et leur influence	
Dixmier (J.), Bletry (J.) et Sadoc (J. F.). — Etude de la structure des alliages métalliques amorphes par		sur la cinétique de la nucléation homogène	C2-19
diffraction des neutrons	C2-65	Myers (H. P.). — Voir Hunderi (O.)	C2-89
Esbjørn (P. O.). — Voir Cotterill (R. M. J.)	C2-35	Nandra (S. S.). — Voir Davies (L. B.)	C2-59
Farges (J.), De Feraudy (M. F.), Raoult (B.) et Tor-		Paetsch (R.). — Voir Cotterill (R. M. J.)	C2-35
chet (G.). — Structure compacte désordonnée		Polk (D. E.) and Boudreaux (D. S.). — Comment on the	
et agrégats moléculaires : modèles polytétra-		interpretation of the first peak of the RDF of	C2 55
édriques	C2-13	amorphous metals	C2-55
De Feraudy (M. F.). — Voir Farges (J.)	C2-13	Raoult (B.). — Voir Farges (J.)	C2-13
Finney (J. L.). — The structures of laboratory and	C2 1	Renou (A.). — Voir Gillet (M.)	C2-102 C2-89
computer-built random packing	C2-1	Ryberg (R.). — Voir Hunderi (O.)	CZ-09
Flechon (J.). — Voir Machizaud (F.)	C2-83	tiques dans les alliages métalliques amorphes	C2-75
Gillet (M.), Gillet (E.) et Renou (A.). — Croissance		Sadoc (J. F.). — Voir Dixmier (J.)	C2-65
d'agrégats « Icosaédriques » sur un support épi-	C2-102	Torchet (G.). — Voir Farges (J.)	C2-13



Ile conférence internationale sur les composés semiconducteurs ternaires Ilnd international conference on ternary semiconducting compounds Strasbourg 1975

Alibert (C.). — Voir Gallay (J.)	C3-123	Humphreys (R. G.), Pamplin (B. R.). — Optical	
Allais (G.). — Voir Montfort (Y.)	C3-25	absorption in ZnSiP ₂	C3-159
Alpen (U. V.), Gmelin (E.), Rabenau (A.). — Semi-	C2 92	Humphreys (R. G.). — Voir Miller (A.) Irie (T.). — Voir Endo (S.)	C3-31 C3-77
conductors of the type Me ^{II} Me ^{IV} S ₃	C3-82	Irie (T.). — Voir Nakanishi (H.)	
Ambrazevichius (G.), Babonas (G.), Kavaliauskas (J.), Krivaite (G.), Shileika (A.). — Optical spectra of		THE (1.). — VOII WAKAMISHI (F1.)	C3-163
the A ² B ⁴ C ₂ ⁵ type semiconductors	C3-115	Jerphagńon (J.). — Voir Cardona (M.)	C3-189
Baars (J.). — Voir Koschel (W. H.)	C3-177	Kambara (T.). — Voir Gondaira (K. I.)	C3-145
Babonas (G.). — Voir Ambrazevichius (G.)	C3-115	Kasper (H. M.). — Voir Wagner (S.)	C3-101
Bardeleben (J. Von), Goltzene (A.), Schwab (C). — Transition metal ions as stoichiometry sensors of CuGaS ₂	C3-47	Kaufmann (U.), Rauber (A.), Schneider (J.). — Electron-spin-resonance and optical absorption of Ni ⁺ and Ti ³⁺ in I _B -III-S ₂ compounds	C3-37
Barthe-Lefin (F.). — Voir Sermage (B.)	C3-137	Kavaliauskas (J.). — Voir Ambrazevichius (G.)	C3-115
Bernard (M.). — Glances at ternary compounds	C3-137	Koschel (W. H.), Sorger (F.), Baars (J.). — Optical	C3-113
Bloem (J.). — Voir Verheijen (A. W.)	C3-39	phonons in I-III-VI ₂ compounds	C3-177
Dioem (0.). — von verneigen (A. vv.)	C3-37	Krivaite (G.). — Voir Ambrazevichius (G.)	C3-115
Cardona (M.), Jerphagnon (J.). — Concluding remarks	C3-189		
Chapman (B.). — Voir Miller (A.)	C3-31	Lockwood (D. J.), Montgomery (H.). — Raman spec-	C2 102
Chemla (D. S.), Deschanvres (A.), Mercey (B.).		trum of AgGaS ₂	C3-183
Compression tétragonale et biréfringence des composés A ^{II} B ^{IV} C ^V ₂	C3-17	Marshall (N.). — Voir Matthes (H.)	C3-105
Clark (W.). — Voir Miller (A.)	C3-73	Matthes (H.), Viehmann (R.), Marshall (N.), Korczak (P.). — Bridgman growth of AgGaS ₂ with	
Deschanvres (A.). — Voir Chemla (D. S.)	C3-17	improved optical properties	C3-105
Deschanvres (A.). — Voir Gallay (J.)	C3-123	Maurer (A.). — Voir Quenez (P.)	C3-83
		Mercey (B.). — Voir Chemla (D. S.)	C3-17
Endo (S.), Irie (T.). — Transport properties of $CdIn_2S_4$ and $CdIn_2 (1-x) Cr_{2x}S_4$ single crystals	C3-77	Miller (A.), Clark (W.). — Electrical properties of ZnGeP ₂ and CdGeP ₂	C3-73
Endo (S.). — Voir Nakanishi (H.).	C3-163	Miller (A.), Humphreys (R. G.), Chapman (B.). — High	
Feigelson (R. S.). — The growth of ternary semi-conductor crystals suitable for device applications.	C3-57	temperature lattice parameters of ZnSiP ₂ , ZnGeP ₂ and CdGeP ₂	C3-31
Fortin (E.). — Voir Rochon (P.)	C3-67	Miyauchi (T.). — Voir Yamamoto (N.)	C3-155
Gaillard (S.). — Voir Gallay (J.)	C3-123	Montfort (Y.), Vizot (J.), Allais (G.). — Etude de défauts dans quelques structures chalcopyrites	C3-25
Gallay (J.), Deschanvres (A.), Gaillard (S.), Alibert (C.). — Electroreflectance and band structure of	G2 444	Montgomery (H.) Voir Lockwood (D. J.)	C3-183
$ZnSiAs_2 - xP_x$ alloys	C3-123	Nakanishi (H.), Endo (S.), Irie (T.). — Optical proper-	C2 162
Giling (L. J.). — Voir Verheijen (A. W.)	C3-39	ties of CdIn ₂ S ₄ single crystals	C3-163
Gmelin (E.). — Voir Alpen (U. V.)	C3-82	perties of multication chalcogenides	C3-9
Goltzene (A.). — Voir Bardeleben (J. Von)	C3-47	Noolandi (J.). — Voir Weaire (D.)	C3-27
Gondaira (K. I.), Kambara (T.), Susuki (K.). — Electronic structure of Pe ion in CuGaS ₂	C3-145		
Gorochov (O.). — Voir Quenez (P.)	C3-83	Pamplin (B. R.). — Growth of II IV V ₂ compounds and alloys by accelerated crucible rotation tech-	
Grimsditch (M.). — Voir Holah (G. D.)	C3-185	niques	C3-35
Holah (G. D.), Grimsditch (M.). — Brillouin scattering		Pamplin (B. R.). — Non stoichiometry and solid solution in adamantine ternary compounds	C3-53
determination of the elastic moduli of AgGaS ₂ and their influence on the analysis of the optical		Pamplin (B. R.). — Voir Humphreys (R. G.)	C3-159
phonon data	C3-185	Papadopoulo-Scherle (A. C.). — Voir Sermage (B.)	C3-137

Polygalov (Ju. I.), Poplavnoi (A. S.), Ratner (A. M.). — Anion shift influence on band structure of crystals		Shay (J. L.). — Experimental studies of energy band structure of chalcopyrite crystals	C3-109
with chalcopyrite lattice	C3-129	Shay (J. L.). — Voir Wagner (S.)	C3-10
Poplavnoi (A. S.), Tjuterev (U. G.). — Lattice dynamics		Shileika (A.). — Voir Ambrazevichius (G.)	C3-11:
of A ^{II} B ^{IV} C ^V ₂ and A ^I B ^{III} C ^{VI} ₂ semiconductors with chalcopyrite lattice in a rigid-ion model	C3-169	Smith (R. C.). — Device applications of the ternary semiconducting compounds	C3-89
Poplavnoi (A. S.). — Voir Polygalov (Ju. I.)	C3-129	Sorger (F.). — Voir Koschel (W. H.).	C3-17
Quenez (P.), Maurer (A.), Gorochov (O.). — Préparation et propriétés de monocristaux de composés		Susuki (K.). — Voir Gondaira (K. I.)	C3-14:
de type $A_4BX_6(A = Cd, Hg; B = Ge, Si; X = S, Se)$.	C3-83	Teranishi (T.), Sato (K.). — Optical, electrical and magnetic properties of chalcopyrite, CuFeSe ₂	C3-149
		Tjuterev (U. G.). — Voir Poplavnoi (A. S.)	C3-169
Rabenau (A.). — Voir Alpen (U. V.)	C3-82	Van Enckevort (W. J. P.). — Voir Verheijen (A. W.)	C3-39
Ratner (A. M.). — Voir Polygalov (Ju. I.)	C3-129		C3-3;
Rauber (A.). — Voir Kaufmann (U.)	C3-37	Verheijen (A. W.), Van Enckevort (W. J. P.), Bloem (J.), Giling (L. J.). — Flux growth, analysis and crys-	
Rochon (P.), Fortin (E.), Zielinger (J. P.), Schwab (C.).		tallographic aspects of alkali rare earth sulfides	C3-39
- Direct and wavelength modulated photocon-		Viehman (R.). — Voir Matthes (H.)	C3-105
ductivity and photovoltaic excitation spectra of CuGaS ₂	C3-67	Vizot (J.). — Voir Montfort (Y.)	C3-25
Sato (K.). — Voir Teranishi (T.)	C3-149	Wagner (S.), Shay (J. L.), Kasper (H. M.). — The p-CuInSe ₂ /n-CdS heterodiode; photovoltaic detec-	
Schneider (J.). — Voir Kaufmann (U.)	C3-37	tor, solar cell and light emitting diode	C3-101
Schwab (C.). — Voir Bardeleben (J. Von)	C3-47	Weaire (D.), Noolandi (J.). — The Structure of chal-	
Schwab (C.). — Voir Rochon (P.)	C3-67	copyrite semiconductors	C3-27
Sermage (B.), Barthe-Lefin (F.), Papadopoulo- Scherle (A. C.). — Variation avec la température de la bande interdite du champ cristallin et du couplage spin-orbite en centre de zone de AgGaSe ₂		Yamamoto (N.), Miyauchi (T.). — Preparation of CuAl _{1-x} Ga _x S ₂ alloys and measurement of phase-shift difference upon reflexion	: Č3-15:
et AgGaTe ₂	C3-137	Zielinger (J. P.). — Voir Rochon (P.)	C3-63

Joints intergranulaires dans les métaux Grain boundaries in metals

Saint-Etienne 1975

Assassa (W.), Guiraldenq (P.), Beaunier (L.) et Froment (M.). — Les joints intergranulaires dans les métaux. Autodiffusion intergranulaire dans des bicristaux de flexion d'un acier inoxydable austéni-		Grolier (J.). — Le joint intergranulaire dans les roches Guérin (C.), Colin (D.), Montuelle (J.) et Da Cunha Belo (M.). — Rôle des impuretés et des additions sur la corrosion et la fragilisation intergranulaires à	C4-427
tique, désorientés autour de l'axe < 100 >	C4-225	base de nickel	C4-407
Bacmann (JJ.) Voir Sainfort (G.)	C4-35	Guiraldenq (P.). — Diffusion intergranulaire et énergie	
Balluffi (R. W.), Goodhew (P. J.), Tan (T. Y.) and Wa-		des joints de grains	C4-201
gner (W. R.). — Electron microscope studies of		Guiraldenq (P.) Voir Assassa (W.)	C4-225
grain boundary structure in cubic metals	C4-17	Gutmann (M.). — Voir Pichard (C.)	C4-151
Baudelet (B.), Suery (M.) et Eberhardt (J. L.). — Le glis-	C 1 17	Guyot (P.) and Simon (JP.). — Theoretical aspects of	
sement aux joints et les mécanismes accommodateurs	C4-281		
Bauer (C. L.). — Interactions of impurities with a moving	C4-201	the interaction between grain-boundaries and impurities	C4 141
grain boundary	·C4-333	rities	C4-141
Bauer (C. L.). — Voir Cosandey (F.)	C4-53	Haessner (F.). — Single-process theories of grain boun-	
	C4-367	dary migration in the light of recent experimental	04.045
Bauer (C. L.). — Voir Masteller (M. S.)	C4-307 C4-225	results	C4-345
Beaunier (L.). — Voir Assassa (W.).	C4-223	Henry (G.), Maitrepierre (Ph.), Michaut (B.) et Tho-	
Beeler (J. R.), Dahl (R. E.) and Bourquin (R. D.). — Struc-		mas (B.). — Cinétique et morphologie de la précipi-	
ture, energy and atom migration effects of tilt boun-	~	tation intergranulaire de borocarbures M ₂₃ (B, C) ₆	
daries	C4-97	dans les aciers	C4-245
Benoist (P.) et Martin (G.). — Modèle atomique de diffu-		D'Heurle (F. M.). — Electromigration in thin films: the	
sion intergranulaire. Généralisation	C4-213	effect of solute atoms on grain boundary diffusion	C4-191
Biscondi (M.). — Les modèles de structure des joints de		Hondros (E. D.). — Grain boundary segregation. The	
grains et leur utilisation	C4-57	current situation and future requirements	C4-117
Biscondi (M.) Voir Lagarde (P.)	C4-297	Kang (S. K.). — Voir Cosandey (F.)	C4-53
Bonnet (R.) et Durand (F.). — Relations entre la structure	C4 277	Kozubowsky (J. A.). — Voir Varin (R. A.)	C4-43
du joint de phases et le réseau de coïncidence	C4-441	Lagarde (P.) et Biscondi (M.). — Fluage intergranulaire	
* *	C4-441	de bicristaux et de cuivre : étude expérimentale et	
Bourquin (R. D.). — Voir Beeler (J. R.)	C4-97	interprétation par des dislocations intergranulaires	
Boutin (F. R.). — Mise en évidence expérimentale de		calculées par ordinateur	C4-297
l'influence des impuretés sur la vitesse de migration		Le Coze (J.). — Influence de la structure atomique des	
des joints de grains dans la recristallisation de l'alu-		joints de grains sur la précipitation intergranulaire.	C4-263
minium	C4-355	Lorimer (G. W.). — Precipitation at grain boundaries	C4-233
Colin (D.). — Voir Guérin (C.).	C4-407	Lücke (K.). — The orientation dependence of growth	0 1 250
Cornet (M.). — Voir Gourmelon (A.)	C4-395	rate of grain boundaries and the formation of recrys-	
Cosandey (F.), Kang (S. K.) et Bauer (C. L.). — Obser-		tallization textures	C4-339
vation de la structure des joints de grains dans les		Maitrepierre (Ph.). — Voir Henry (G.)	C4-245
lames minces bicristallines produites par une nouvelle		Martin (G.). — Voir Benoist (P.)	C4-213
technique	C4-53	Martin (G.) et Perraillon (B.). — La diffusion intergra-	C4-213
Da Cunha Belo (M.). — Voir Guérin (C.)	C4-407		C4-165
Dahl (R. E.). — Voir Beeler (J. R.)	C4-97	nulaire	C4-103
Dimitrov (O.). — La migration des joints intergranulaires	C4-319	Marya (S. K.) et Wyon (G.). — Superplasticité à l'ambiante de l'aluminium à grain fin, en liaison avec l'existence	
Durand (F.). — Voir Bonnet (R.)	C4-441	d'un film intergranulaire de solution solide riche en	
Eberhardt (J. L.). — Voir Baudelet (B.)	C4-281		C4-309
de Fouquet (J.), Woirgard (J.), Gacougnolle (JL.) et		gallium	C 4 -309
Rivière (A.). — Aspects théoriques et expérimentaux		Masteller (M. S.) et Bauer (C. L.). — Migration des joints	C4-367
des effets de frottement intérieur associés aux joints		de flexion <110 > dans les bicristaux d'aluminium.	C4-307
de grains dans les métaux	C4-291	Mataré (H. F.). — Main electronic features of grain boun-	C4-447
Froment (M.). — Sur le mécanisme de la corrosion inter-		daries in metallic and non metallic materials	C4-447
granulaire des matériaux métalliques	C4-371	Mc Lean (D.). — Mechanical properties of grain boun-	04.072
Froment (M.). — Voir Assassa (W.)	C4-225	daries	C4-273
Gacougnolle (J. L.) Voir de Fouquet (J.)	C4-291	Metzger (M.). — Intergranular corrosion of single phase	
Goodhew (P. J.). — Voir Balluffi (R. W.)	C4-17	aluminium as a pitting phenomenon	C4-387
Gourmelon (A.), Cornet (M.), Talbot-Besnard (S.).		Michaut (B.). — Voir Henry (G.)	C4-245
Quelques propriétés des joints de grains de fer :		Michaut (B.). — Voir Sainfort (G.)	C4-35
rôle de la présence d'hydrogène	C4-395	Montuelle (J.). — Voir Guérin (C.)	C4-407
Goux (C.). — Sur l'utilisation du réseau zéro pour déter-		Mortimer (D. A.). — Segregation of boron to grain boun-	
miner la structure des joints de grains	C4-111	daries in iron and a stainless steel	C4-137
Goux (C.). — Exposé de clôture	C4-455	Moya (F.) et Moya-Gontier (G. E.). — Etude de la ségré-	
Goux (C.). — Voir Pichard (C.).	C4-151	gation intergranulaire du soufre dans le cuivre	C4-157
Grabski (M. W.). — Voir Varin (R. A.).	C4-43	Moya-Gontier (G. E.). — Voir Moya (F.)	C4-15 ⁻

Perraillon (B.). — Voir Martin (G.)	C4-165	Silvestre (G.). — Voir Sainfort (G.)	C4-35
Philibert (J.). — Les joints de grains dans les oxydes	C4-411	Simon (J. P.). — Voir Guyot (P.)	C4-141
Pichard (C.), Gutmann (M.), Rieu (J.) et Goux (C.).		Smith (D. A.). — Microscopy of static and dynamic pro-	
Ségrégation intergranulaire des éléments de la famille		perties of interfaces	C4-
du soufre dans le fer pur	C4-151	Suery (M.). — Voir Baudelet (B.)	C4-281
Pond (R. C.). — A study of coincidence boundaries in		Talbot-Besnard (S.). — Voir Gourmelon (A.)	C4-395
aluminium using transmission electron microscopy.	C4-315	Tan (T. Y.). — Voir Balluffi (R. W.)	C4-17
Pumphrey (P. H.). — Observations of the interaction of		Thomas (B.). — Voir Henry (G.)	C4-245
lattice dislocations with high angle grain boundaries	C4-23	Varin (R. A.), Kozubowsky (J. A.) and Grabski (M. W.). —	
Ralph (B.). — A practical approach to the theoretical		Investigation of extrinsic grain boundary dislocations	
structure of grain boundaries	C4-71	in cooper	C4-43
Rieu (J.). — Voir Pichard (C.)	C4-151	Wagner (W. R.). — Voir Balluffi (R. W.)	C4-17
Rivière (A.). — Voir de Fouquet (J.)	C4-291	Warrington (D. H.). — The coincidence site lattice (CSL)	
Roques-Carmes (C.). — Comparaison entre les méca-		and grain boundary (DSC) dislocations for the	
nismes de corrosion et de fragilisation intergranu-		hexagonal lattice	C4-87
laires des métaux par les métaux liquides	C4 403	Weins (M. J.) and Weins (J. J.). — Extensions from models	
	C4-403	of simple short period grain boundaries	C4-81
Sainfort (G.), Bacmann (JJ.), Silvestre (G.) et Michaut		Weins (J. J.). — Voir Weins (M. J.)	C4-81
(B.). — Analyse de quelques exemples de réseaux		Woirgard (J.). — Voir de Fouquet (J.)	C4-291
de dislocations interfaciales	C4-35	Wyon (G.). — Voir Marya (S. K.)	C4-309

Surface des noyaux The surface of nuclei Astrophysique des hautes énergies High energy astrophysics

Dijon 1975

Cassé (M.). — Composition du rayonnement cosmique	·C5-166	Leroy (B.). — Voir Combes (F.)	C5-155
Césarsky (C. J.). — Processus d'accélération en astrophy-		Meyer (J. P.). — Le rayonnement cosmique galactique :	
sique	C5-143	état de la situation et prospective	C5-165
Combes (F.), Fassi-Fehri (O.), Leroy (B.). — Nucléosyn-		Paul (J.). — Rayonnement gamma d'origine galactique.	
thèse dans un univers symétrique	C5-155	Puget (J. L.). — Rayons gamma d'origine extragalac-	177
Ducros (R.). — Voir Rocchia (R.)	C5-169	tique	C5-183
Epherre (M.), Stéphan (C.). — Les éléments superlourds	C5-159	Reeves (H.). — Nucléosynthèse et cosmologie	
Fassi-Fehri (O.). — Voir Combes (F.)	C5-155	Rocchia (R.), Ducros (R.). — Distribution spectrale et	CJ-130
Fowler (W. A.). — Experimental foundations of explosive		origine du rayonnement X et gamma du fond du	
nucleosynthesis	C5-151		C5-169
Gaffet (B.). — Explosions et courbes de lumières de super-		ciel	~~ . ~ .
novae	C5-145	Sargent (W. L. W.). — Quasar absorption lines. A review.	C5-144
Lequeux (J.). — Comment est chauffée la matière inter-	05 215	Stéphan (C.). — Voir Epherre (M.)	C5-159
	C5 102	Vedrenne (G.). — Sursauts de rayonnement gamma	C'5-185
stellaire?	C5-193	Yiou (F.). — Physique nucléaire et astrophysique	C5-167

COLLOQUE Nº 6 - 1975

Plasmas pour lasers Plasmas for lasers

Dijon 1975

Bacal (M.), Doucet (H. J.). — Etude par spectrométrie de masse des ions négatifs dans un plasma de	C(22	Delcroix (J. L.). — Avant-propos	C6-III C6-22
mélange CO ₂ , N ₂ et hélium à basse pression Belland (P.), Véron (D.), Witbourn (L. B.). — Etude	C6-22	Fabbro (R.), Bruneteau (J.), Fabre (E.). — Photoionisation d'un mélange gazeux CO ₂ -N ₂ -He à la pres-	
de la décharge du laser HCN continu, optimisa-		sion atmosphérique	C6-25
tion des paramètres et lois d'échelle. Réalisation		Fabre (E.). — Voir Fabbro (R.)	C6-25
pratique et applications	C6-41	Fournier (G.), Gotchiguian (P.), Pigache (D.). —	
Boudinet (G.). — Voir Brunet (H.)	C6-21	Caractérisation du plasma dans une décharge	
Bonnet (J.). — Etude paramétrique du gain à vide dans		contrôlée par faisceau d'électrons	C6-35
les mélanges CO ₂ : N ₂ : He	C6-1	Gotchiguian (P.). — Voir Fournier (G.)	C6-35
Brunet (H.), Vincent (P.). — Calcul du coefficient		Jaegle (P.), Jamelot (G.), Carillon (A.), Surreau (A.).	
d'attachement dissociatif dans les mélanges HCl-N ₂		- Etude des plasmas denses et chauds comme	
et HCl-Ar. Détermination approximative des sec-		milieu amplificateur pour les rayons X	. C6-23
tions efficaces de HCl	C6-40	Jamelot (G.). — Voir Jaegle (P.)	C6-23
Brunet (H.), Boudinet (G.), Vincent (P.). — Calcul		Peyraud (J.), Coste (J.). — Effet Compton non linéaire	
des performances d'un laser CO ₂ à excitation élec-		et condensation de Bose dans un gaz de photons	C6-48
triques. Comparaison avec l'expérience	C6-21	Pigache (D.). — Voir Fournier (G.)	C6-35
Bruneteau (J.). — Voir Fabbro (R.)	C6-25	Surreau (A.). — Voir Jaegle (P.)	C6-23
Carillon (A.). — Voir Jaegle (P.)	C6-23	Véron (D.). — Voir Belland (P.)	C6-41
Coste (J.). — Voir Peyraud (J.)	C6-48	Vincent (P.). — Voir Brunet (H.)	C6-21
Dahan (C.). — Calcul d'un milieu amplificateur CO ₂ -		Vincent (P.). — Voir Brunet (H.)	C6-40
N ₂ -He en écoulement	C6-11	Witbourn (L. B.). — Voir Belland (P.)	C6-41

COLLOQUE Nº 7 - 1975

Exposés généraux

Dijon 1975

Allis (W. P.). — Plasmas pour lasers	C7-33	Lequeux (J.). — Comment est chauffée la matière inter-	C7-53
Brezin (E.). — Le groupe de renormalisation appliqué		stellaire ?	
à la théorie des transitions de phase et à quelques autres problèmes	C7-1	Michel (L.). — Les brisures spontanées de symétrie en physique	C7-41
Farge (Y.). — Le rayonnement synchrotron et ses applications diverses en physique, chimie et biologie	C7-17	pajodae	0,

COLLOQUE Nº 8 - 1975

Physicochimie de la basse atmosphère Physical chemistry of low temperature

Dijon 1975

Ackerman (M.). — L'azote non apparié et les autres		Lorius (C.) et Delmas (R.). — Géochimie des calottes	
stabilisateurs de l'oxygène atmosphérique	C8-16	polaires : aspects atmosphériques et climatiques	C8-37
Delmas (R.). — Voir Lorius (C.)	C8-37	Madelaine (G. J.). — Formation et évolution de l'aérosol	
Duplessy (J. C.). — Aspects isotopiques du cycle atmo-		atmosphérique	C8-1
sphérique de l'eau : modifications apportées par des		Merlivat (L.). — Aspects isotopiques du cycle atmosphé-	
variations de climat à grande échelle	C8-13	rique de l'eau	C8-11
Fontan (J.) et Servant (J.). — L'aérosol atmosphérique	C8-25	Servant (J.). — Voir Fontan (J.)	C8-25
Kritz (M.). — An advective hypothesis for the formation			
of the stratospheric garosol layer	CQ 17		

Commission paritaire Nº 26.741

Directrice de la Publication : Jeanne BERGER

Imprimé en France. — Imprimerie JOUVE, 17, rue du Louvre, 75001 PARIS Dépôt légal : 2° trimestre 1976

